

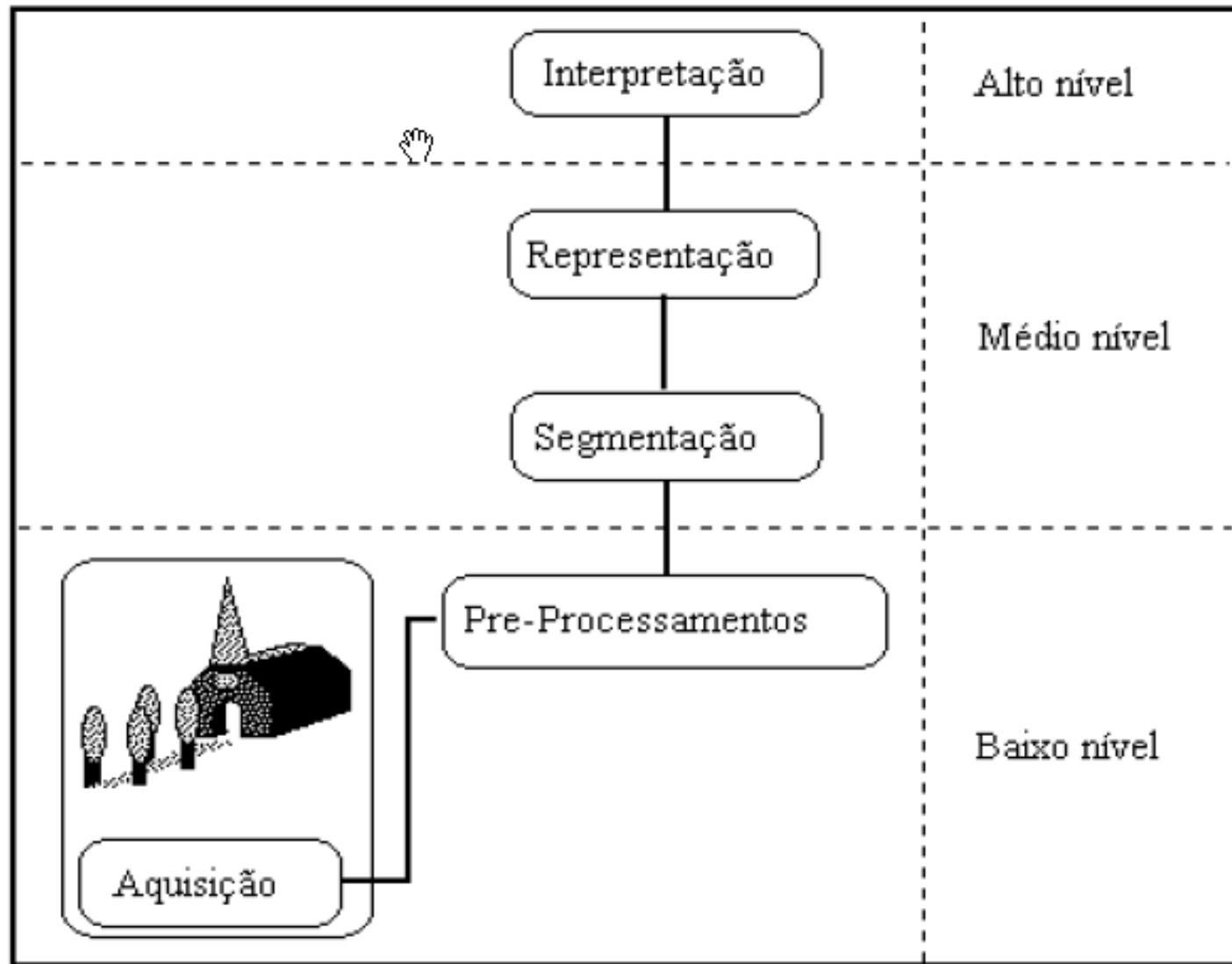
Processamento de Imagens

SCC0251

Pré-processamento

Material baseado nos livros do Sonka e do Gonzalez

<http://www.icaen.uiowa.edu/~dip/LECTURE/lecture.html>



Propriedades de uma Imagem digital

- Vizinhança
- Conectividade
- Medição de Distância
- Operações Lógicas e Aritméticas

Vizinhança

- $N_4(p)$: pixel $p(x,y)$ com 4 vizinhos
 - $(x+1,y), (x-1,y), (x,y+1)$ e $(x,y-1)$
 - 4-vizinhança
- $N_8(p)$: pixel $p(x,y)$ com 8 vizinhos
 - Os acima +
 - $(x+1,y+1), (x-1,y-1), (x-1,y+1)$ e $(x+1,y-1)$
 - 8-vizinhança
- Vizinhança diagonal

Conectividade

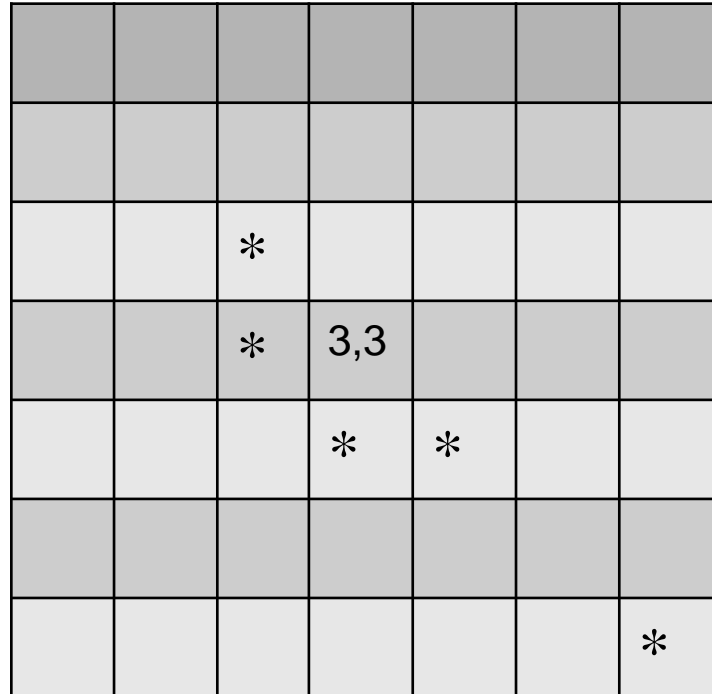
- Importante para estabelecer limites de regiões e objetos em uma imagem
 - 4-conectividade: pixels p e q são 4-conectados se $q \in N_4(p)$
 - 8-conectividade: pixels p e q são 8-conectados se $q \in N_8(p)$

Distâncias

- Dados pixels $p(x,y)$; $q(s,t)$ e $z(u,v)$
- Distância D
 - $D(p,q) \geq 0$ (positividade) $D(p,q) = 0$, se somente se $p=q$)
 - $D(p,q) = D(q,p)$ (simetria)
 - $D(p,z) \leq D(p,q) + D(q,z)$ (desigualdade triangular)

Distâncias

- Euclidiana: $D_e(p, q) = \sqrt{(x - s)^2 + (y - t)^2}$
- Distância D_4 (city-block/Manhattan):
 $|x - s| + |y - t|$
- Distância D_8 (tab. xadrez):
 $\max(|x - s|, |y - t|)$



Para o pixel de coordenadas $(x,y) = (3,3)$, compute as 3 distâncias para os pixels vizinhos marcados

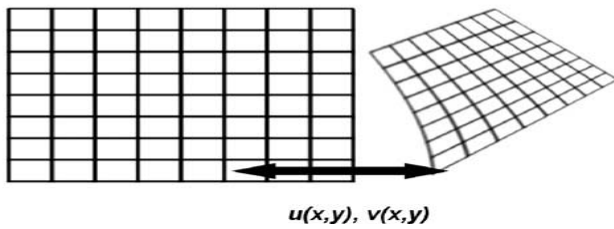
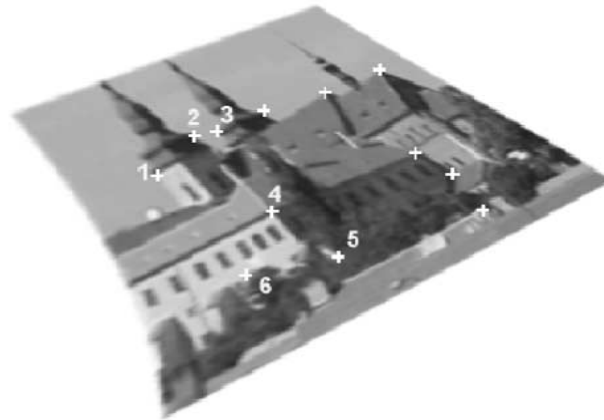
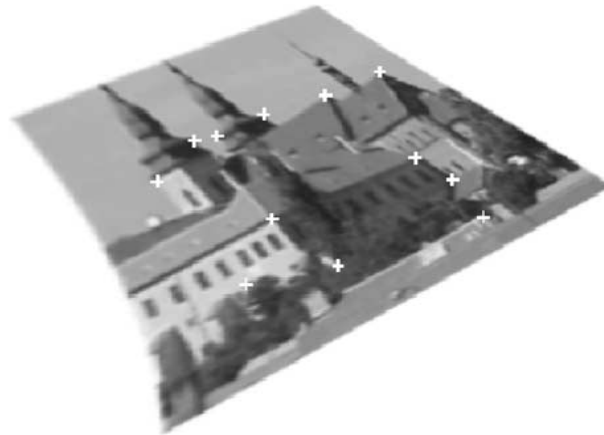
Operações Aritméticas e Lógicas

- Soma, subtração, multiplicação, divisão
 - Operações úteis, por exemplo, para filtrar ruído!
- AND, OR, XOR
 - Identificação de máscaras
- Transformações geométricas
 - Registro de imagens!

Registro de Imagens

- Alinhar duas ou mais imagens de uma cena
- Dadas duas imagens, qual a transformação geométrica que leva a imagem de entrada na imagem de saída?
- Problema: estimar a função de transformação e utilizá-la para registrar as 2 imagens
 - Imagem de entrada: a que queremos transformar
 - Imagem de referência: em relação à qual queremos registrar a entrada

Registro de imágenes



Pré-processamento

- Não aumenta o conteúdo de informação em uma imagem
- Às vezes, diminui o conteúdo
- O melhor pré-processamento é o não pré-processamento
 - concentrar-se no processo de aquisição de imagens
- É, mesmo assim, útil por eliminar informações redundantes

Pré-processamento

- Melhorar a qualidade da imagem (dados) suprimindo distorções indesejadas e ou realçando certas características importantes para o processamento posterior

{note que transformações geométricas (rotação, escala, translação, etc.) são classificadas como pré-processamento}
- 4 categorias → tamanho da vizinhança considerada no cálculo do novo nível cinza

4 Categorias

- Transformações de brilho (histograma, etc.)
- Transformações geométricas (distorções)
- Métodos de filtragem espacial que consideram uma vizinhança local a cada pixel (suavização, filtros)
- Restauração (requer conhecimento sobre a imagem investigada)

Transformadas de brilho do pixel

- Dependem exclusivamente da propriedade do próprio pixel
- Há duas classes de transformadas
 - Correção de brilho (*brightness correction*)
 - transformada de nível de cinza (*grey-scale transformation*)

Transformadas

- Correção de brilho (*position-dependent*)
 - modifica o brilho do pixel levando em conta o seu brilho original e sua posição na imagem
- Transformada de nível de cinza
 - modifica o brilho do pixel sem considerar sua posição na imagem (equalização do histograma, por exemplo)

Correção de Brilho

- Foto-sensitividade do sensor não é uniforme (câmeras CCD, por exemplo)
 - Na prática, dispositivos de aquisição e digitalização atenuam mais a luz quanto mais longe esta está do eixo óptico
- Iluminação desigual dos objetos também é fonte de degradação

Correção da degradação

(quando sistemática e estável)

$$g(x,y) = f(x,y) \bullet h(x,y)$$

$g(x,y)$: *imagem obtida, com degradação*

$h(x,y)$: *coeficiente de erro*

$f(x,y)$: *imagem original (ideal) não degradada (desejada)*

$$f(x,y) = g(x,y) \bullet h^{-1}(x,y)$$

$h(x,y)$ estimado ao capturar uma imagem $g(x,y)$ de brilho conhecido (*imagem com brilho constante c*)

Transformadas

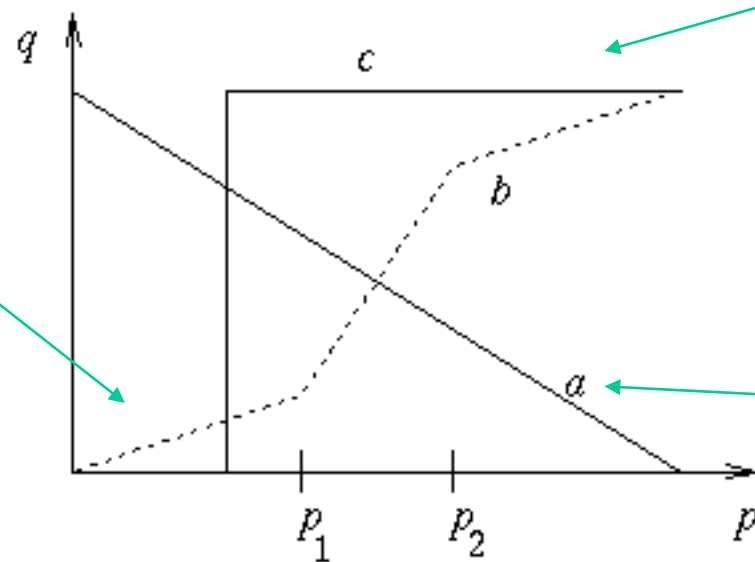
- Correção de brilho (*position-dependent*)
 - modifica o brilho do pixel levando em conta o seu brilho original e sua posição na imagem
- Transformada de nível de cinza
 - modifica o brilho do pixel sem considerar sua posição na imagem (equalização do histograma, por exemplo)

Transformadas do nível de cinza

$$q = T(p)$$

(4.3)

Piecewise Linear Function:
Realce de
contraste na
faixa (p_1, p_2)



Thresholding
(limiarização)

Transformada
negativa

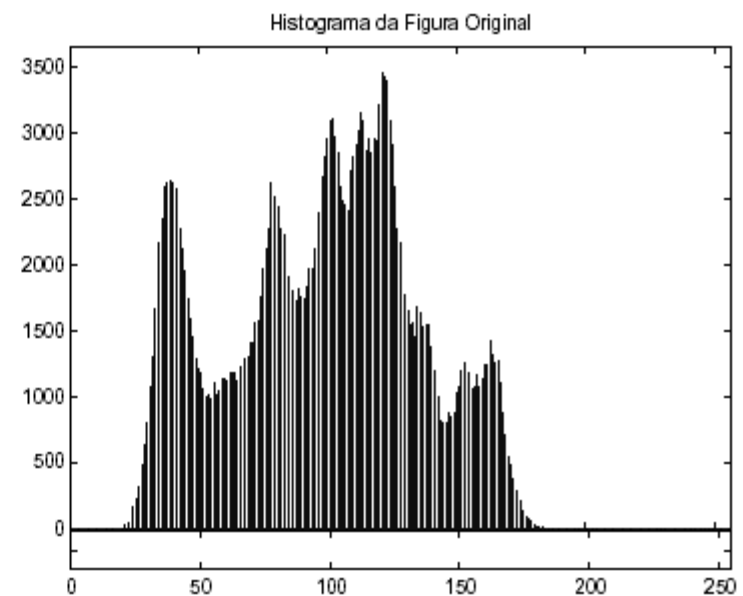
T : Transformação
 p : pixel original (brilho original)
 q : novo valor

Histogramas em Imagens Digitais

$$p_r(r_k) = n_k / n \quad \text{onde}$$

- $0 \leq r_k \leq 1$
- $k = 0, 1, \dots, L-1$, onde L é o nro de níveis de cinza da imagem
- n = nro total de pixels na imagem
- $p_r(r_k)$ = probabilidade do k -ésimo nível de cinza
- n_k = nro de pixels cujo nível de cinza corresponde a k

Histograma em imagens digitais



Propriedades de Histogramas

- O histograma não preserva a informação espacial da distribuição dos pixels, pois registra apenas a quantidade de pixels com um determinado nível de cinza, mas não a sua posição na imagem
- Área do histograma = área da imagem $\int_0^{\infty} H(p)dp = \text{Área da Imagem}$
- Imagens distintas podem apresentar histogramas idênticos

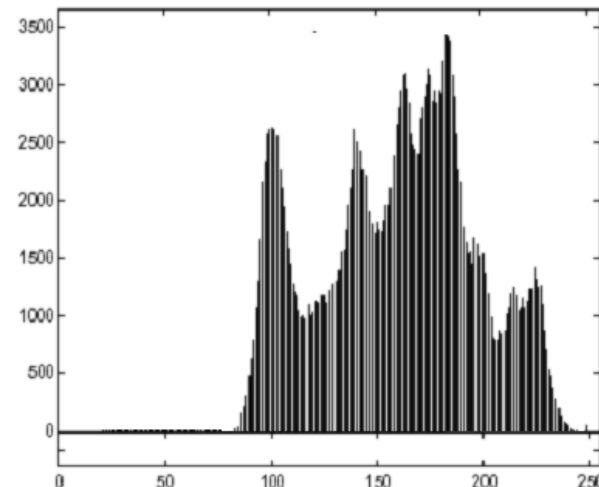
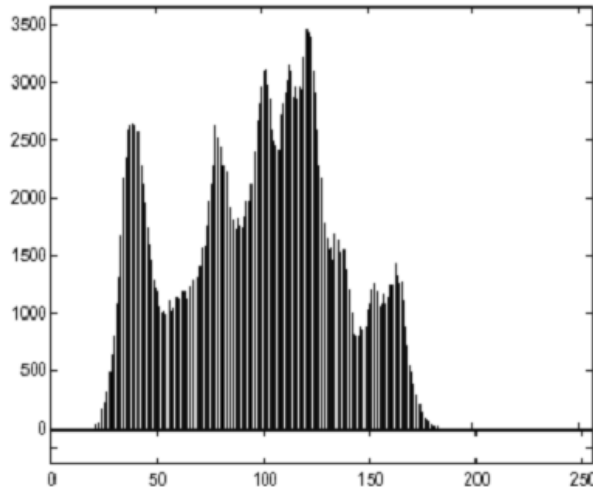


- Os histogramas podem ser utilizados para fins de reconhecimento de padrões

Técnicas de processamento com Histogramas

- Ajuste de brilho e contraste
- Equalização / Refinamento Imagem
- Segmentação
- Mapas de pseudocores

Ajustes de brilho



- Brilho
 - Pode ser realizado através da soma/subtração pontual na intensidade dos pixels

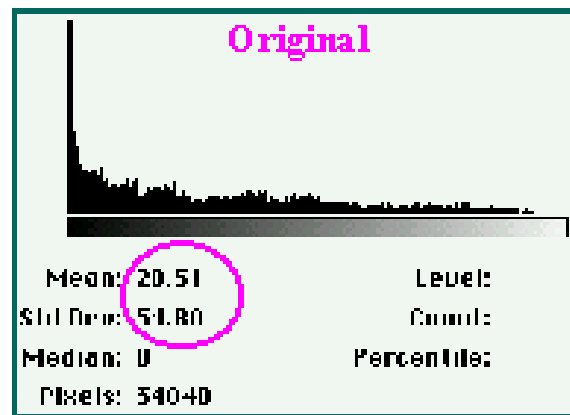
Histograma



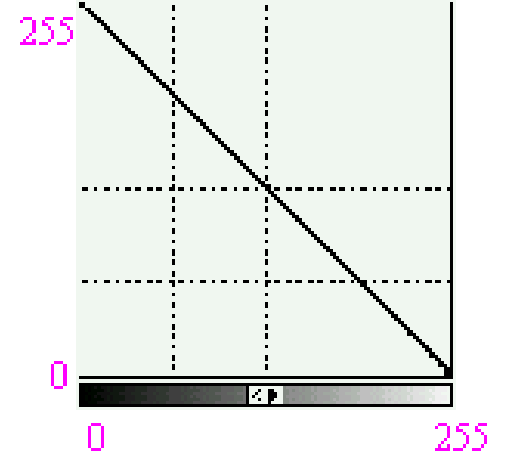
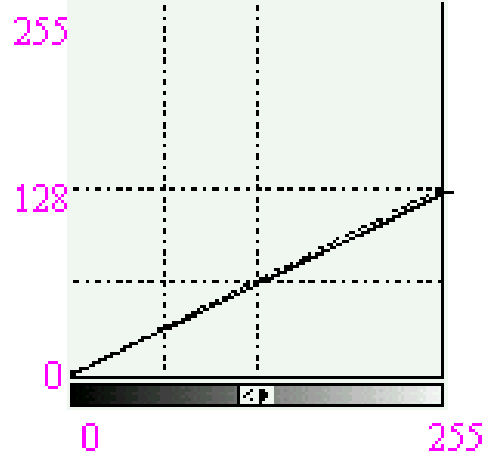
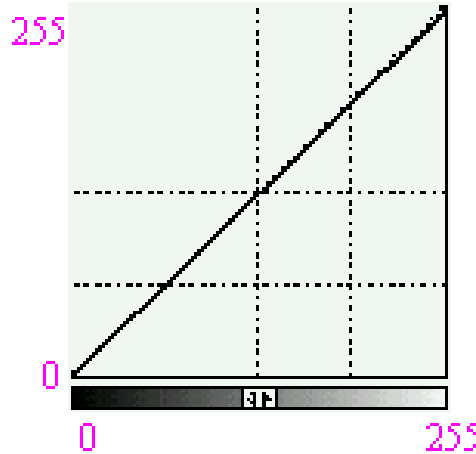
Original

Contraste reduzido 50%

Brilho aumentado 50%



Algumas transformações contraste lineares



Outras transformações lineares



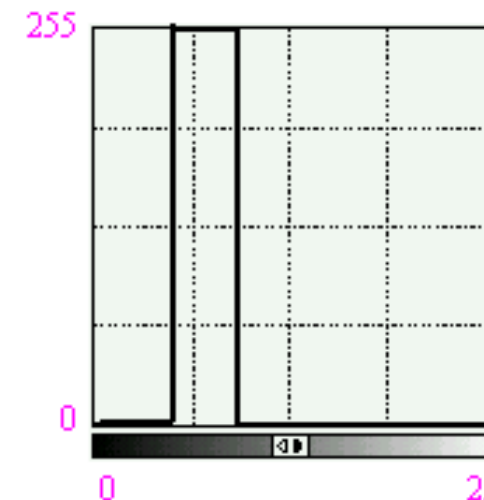
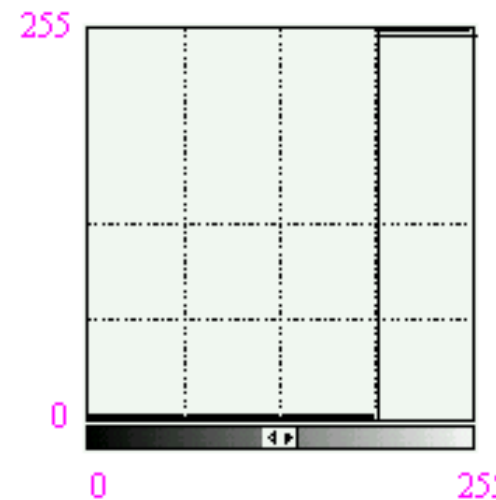
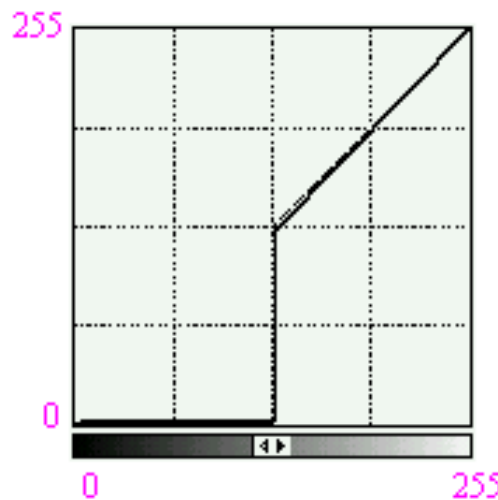
Limiarização



Binarização



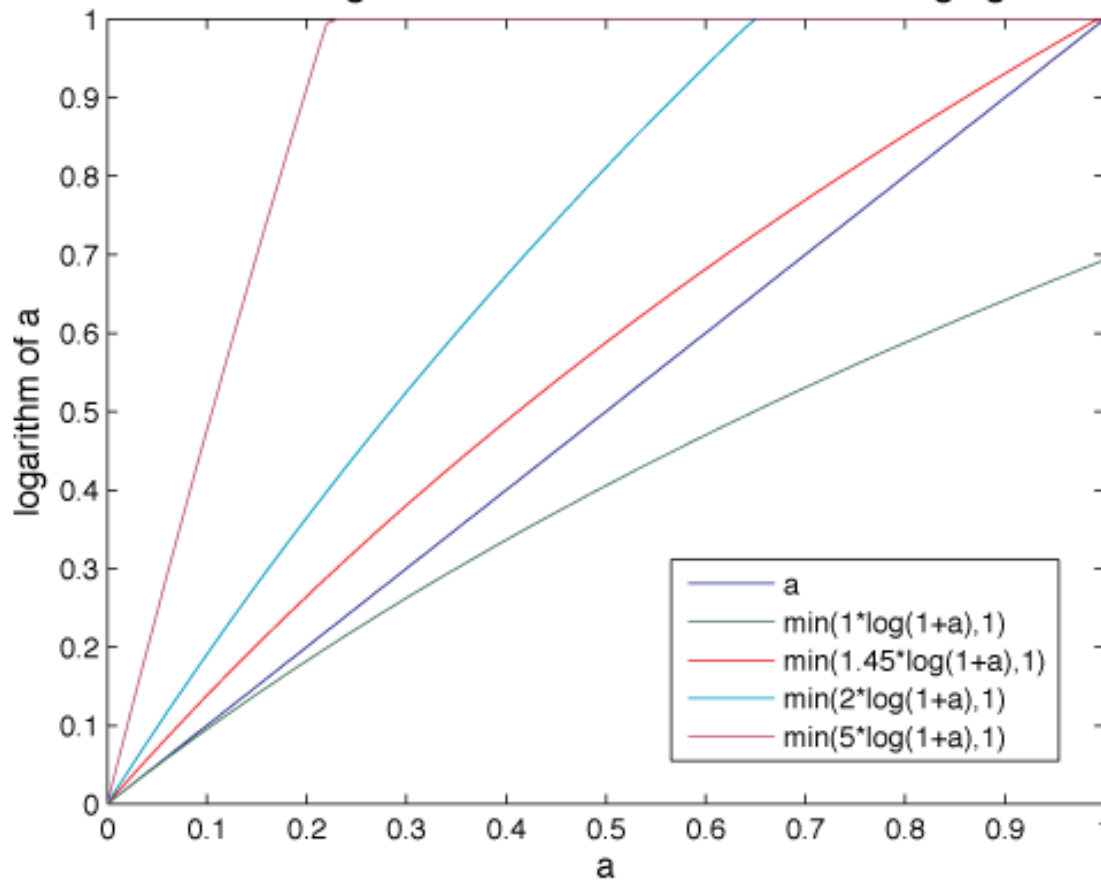
Density Slicing



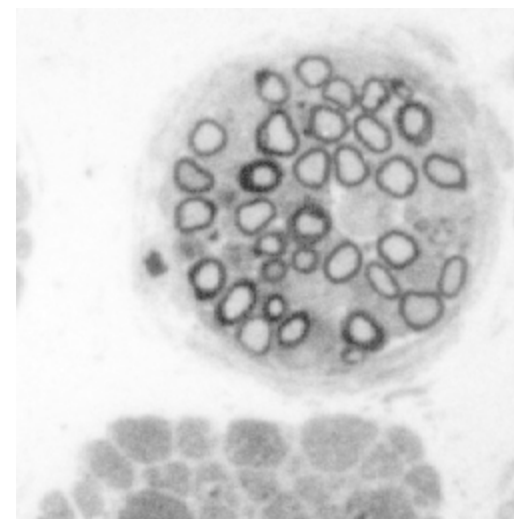
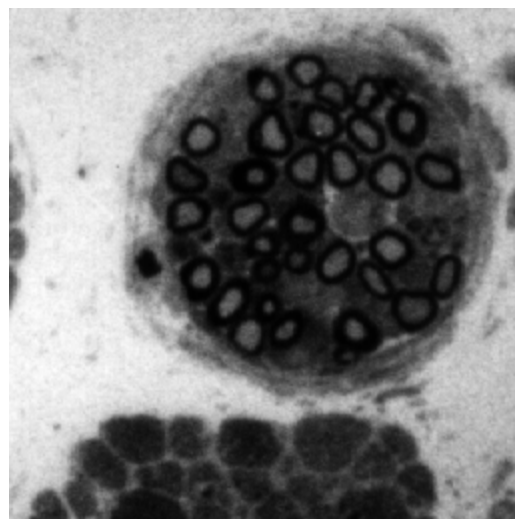
Ajustes de contraste não lineares

- Escala logarítmica de contraste
 $s = c \log(1+p)$ [Gonzalez & Woods, 1993]
- aplica uma escala logarítmica e normaliza o resultado para o histograma 256
- Esta técnica apresenta bons resultados para aumentar o contraste de imagens
- Ferramentas de processamento permitem que o usuário ‘desenhe’ a função logarítmica

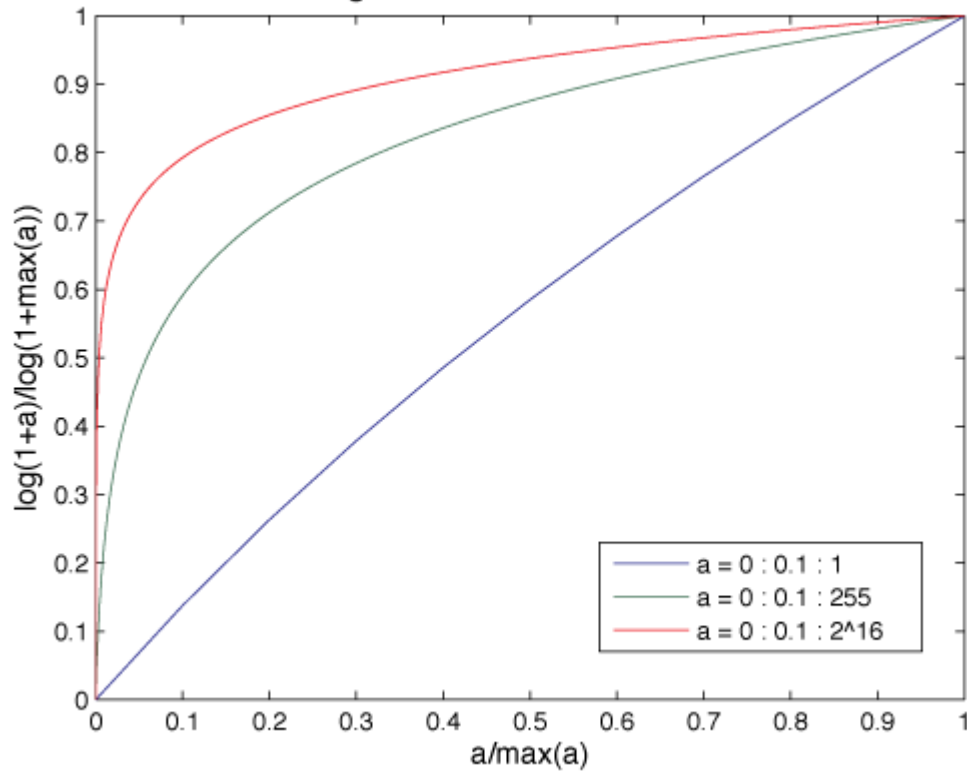
Plot of Logarithm Transformations With Changing c



Exemplos escala log



Plot of Rescaled Logarithm Transformations on Various Domains



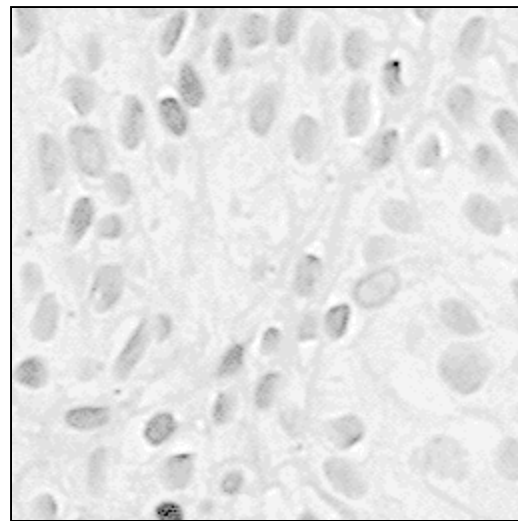
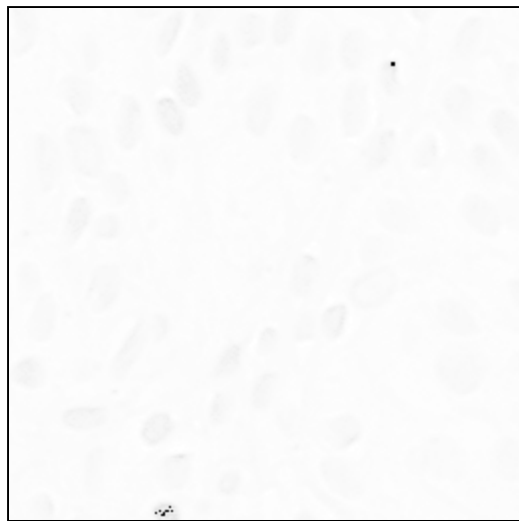
Ajustes de brilho e contraste

- Escala exponencial de contraste

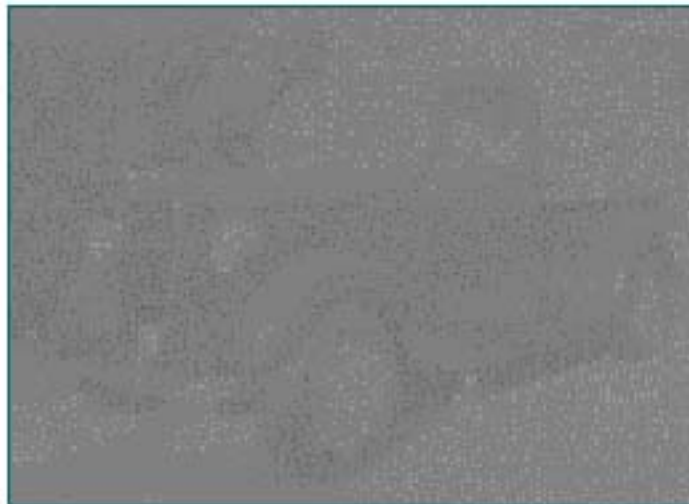
$$s = c \exp(1+p)$$

- Similar à técnica logarítmica, no entanto é empregada em imagens com muito brilho

Exemplos escala exponencial



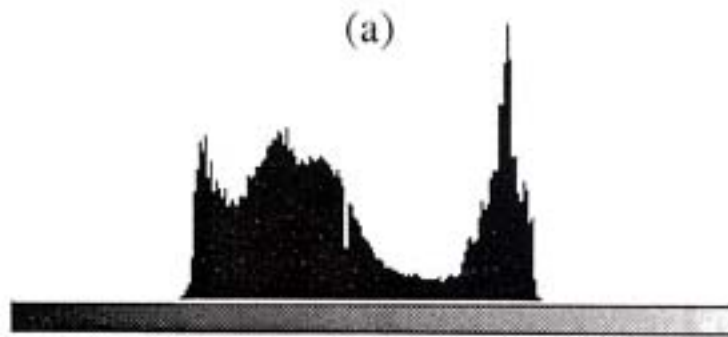
Expansão de histograma



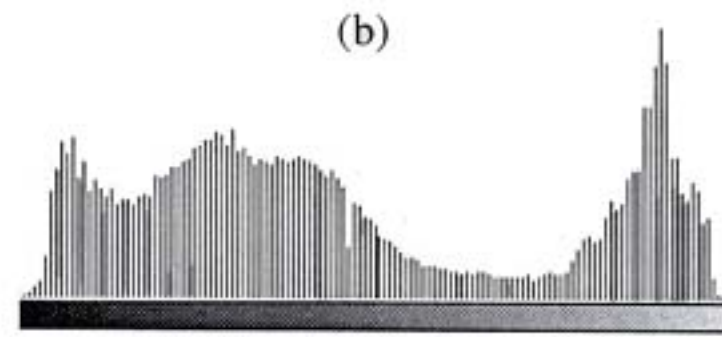
(a)



(b)

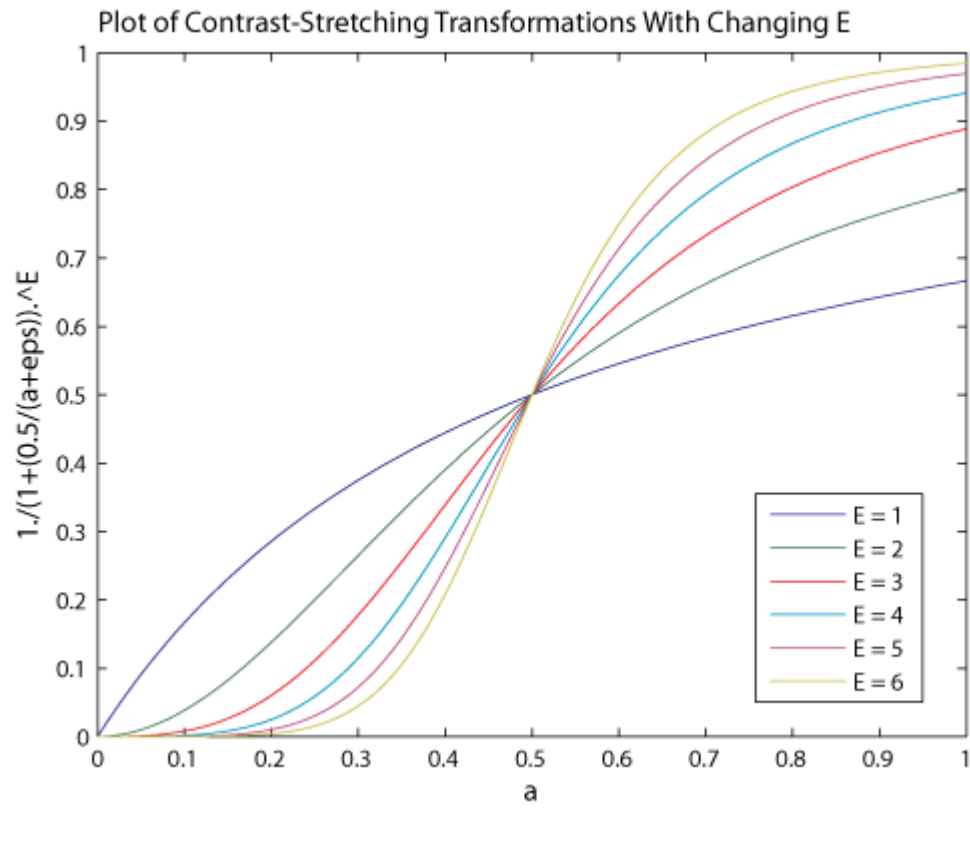


(a)



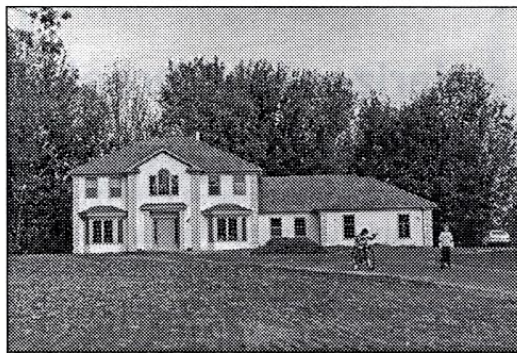
(b)

Função para transformação de *contrast stretching*



$$S = \frac{1}{(1 + \frac{m}{(p + \epsilon)})^E}$$

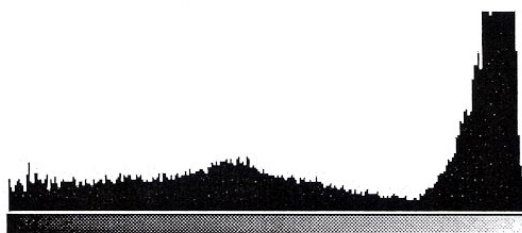
Compressão de histograma



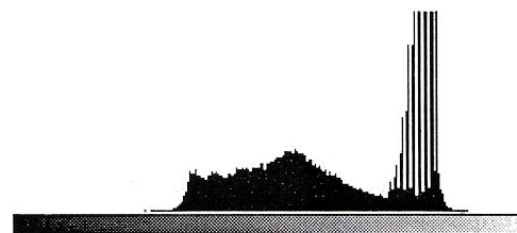
(a)



(b)



(a)

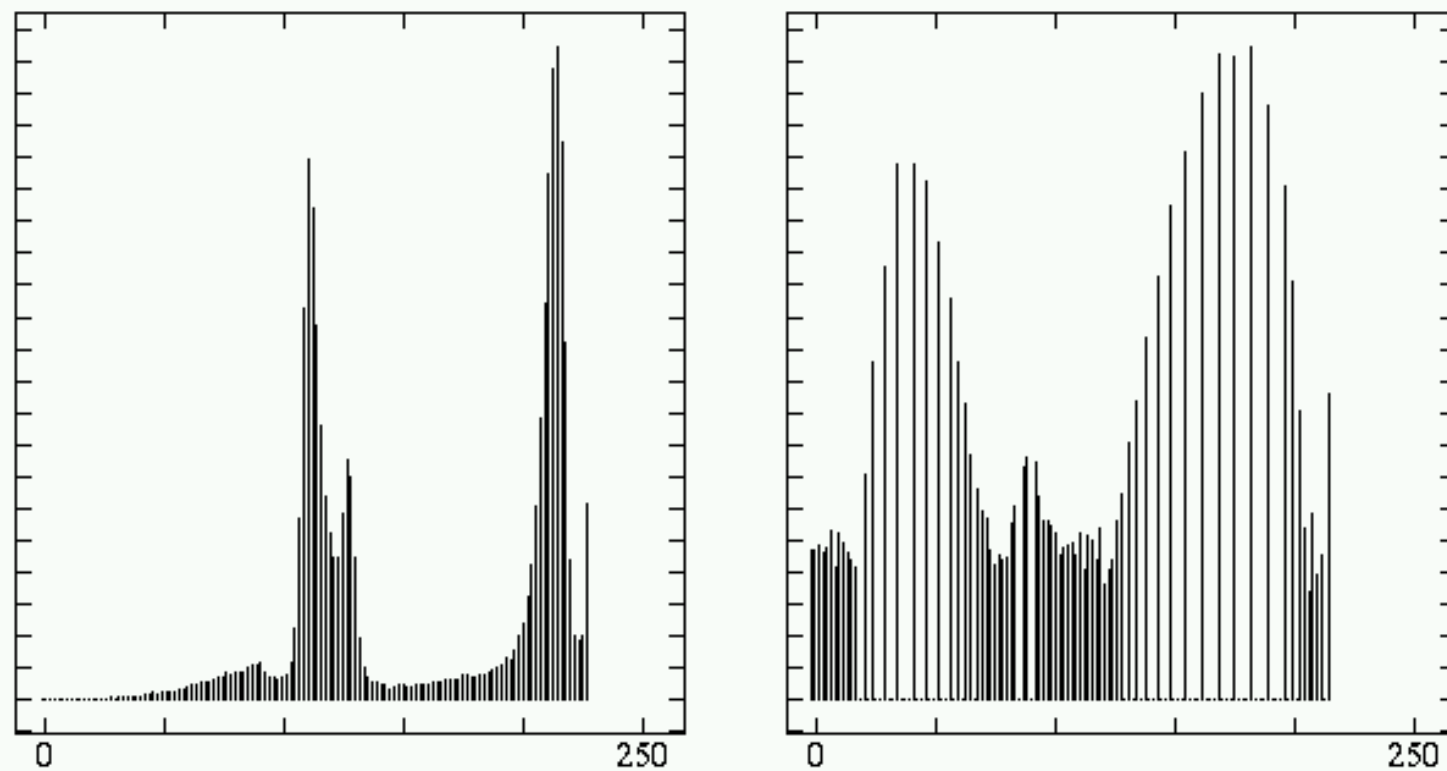


(b)

Equalização de Histograma

- Cria uma imagem com níveis de cinza igualmente distribuídos ao longo da escala de cinza
- Muitas vezes melhora a qualidade visual da imagem
- Utiliza função auxiliar (ou de transformação)
 - cdf: função de distribuição acumulada, por exemplo

Equalização



Equalização

- Histograma acumulado
- Função de distribuição acumulada
(cumulative distribution function)

$$S_k = T(r_k) = \sum n_j/n = \sum p_r(r_j) \quad (0 \geq j \geq k)$$

Histograma

Nível de Cinza (x_k)	n_k	$p_k(x_k)$
0	1120	0,068
1/7 (0,142)	3214	0,196
2/7 (0,285)	4850	0,296
3/7 (0,428)	3425	0,209
4/7 (0,571)	1995	0,122
5/7 (0,714)	784	0,048
6/7 (0,857)	541	0,033
1	455	0,028
TOTAL	16384	1

Fazendo-se somas sucessivas com a função **cdf**, teremos:

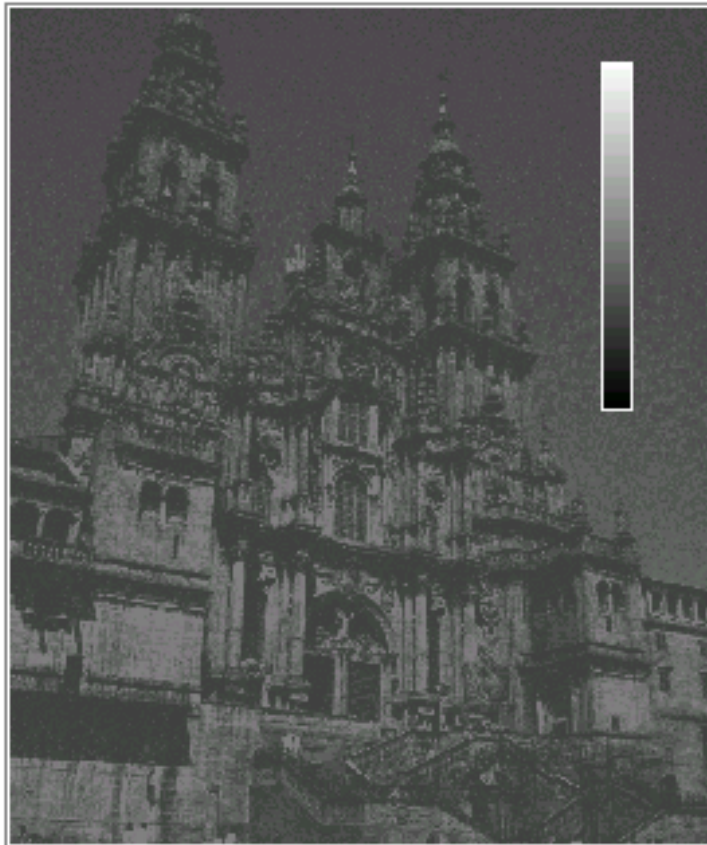
$$S_0 = 0,068, S_1 = 0,264, S_2 = 0,560, \dots S_6 = 0,972, S_7 = 1,000$$

Equalização

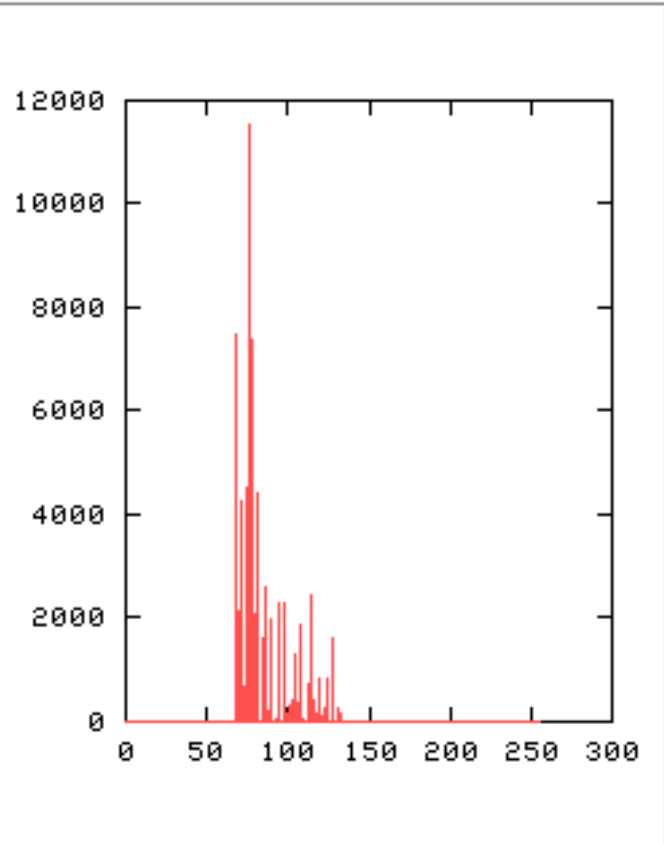
- Imagem quantizada com 8 níveis de cinza
 - cada valor s_j deverá ser arredondado para o valor válido mais próximo
 - $s_0 \approx 0, s_1 \approx 2/7, s_2 \approx 4/7, s_3 \approx 5/7$
 - $s_4 \approx 6/7, s_5 \approx 1, s_6 \approx 1, s_7 \approx 1$

Após equalização

Nível de Cinza (r_k)	m_k	$p_k(r_k)$
0	1120	0,068
1/7	0	0,000
2/7	3214	0,196
3/7	0	0,000
4/7	4850	0,296
5/7	3425	0,209
6/7	1995	0,122
1	1780	0,109
TOTAL	16384	1

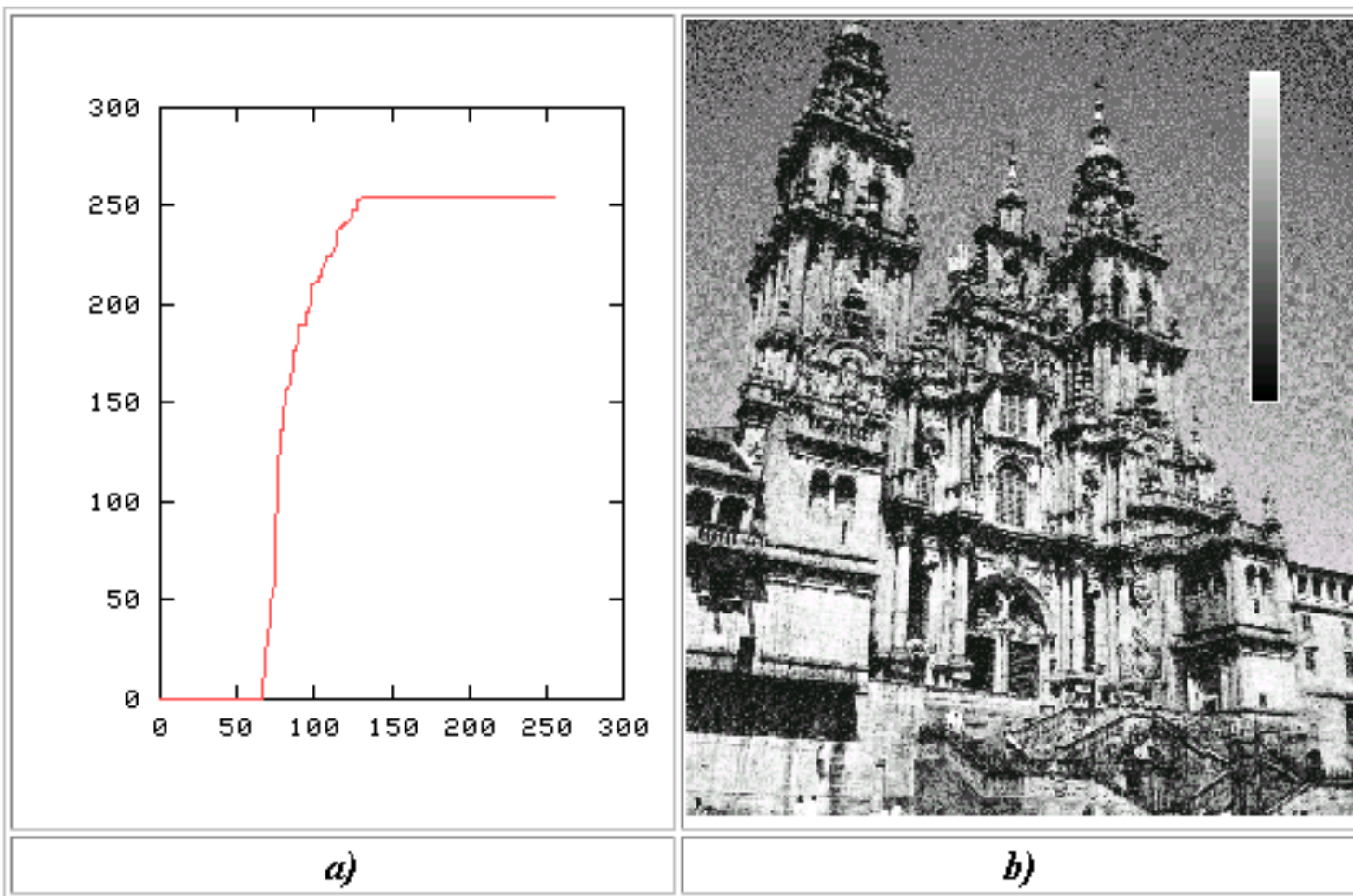


a)

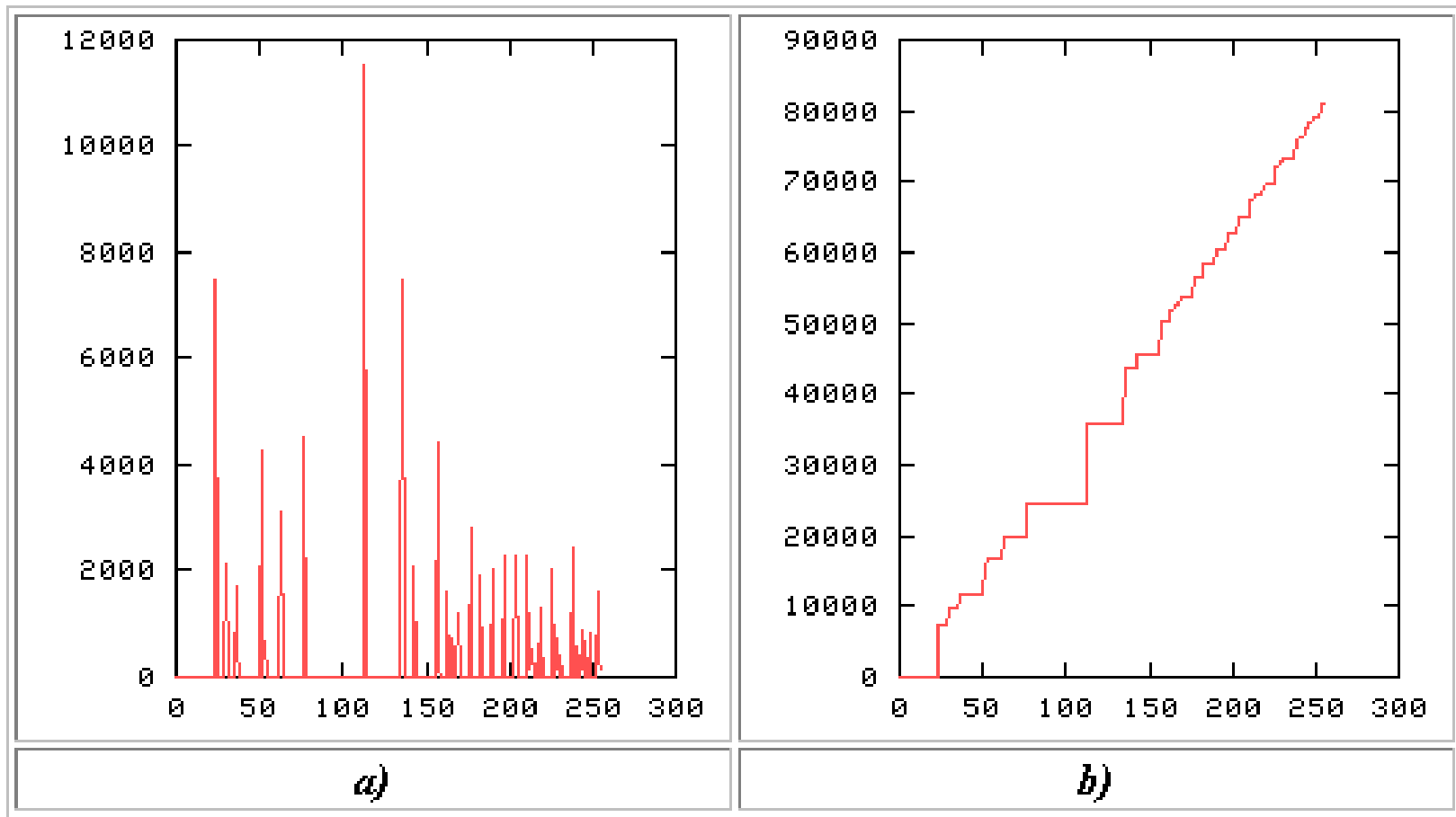


b)

a) Imagem Original
b) Histograma

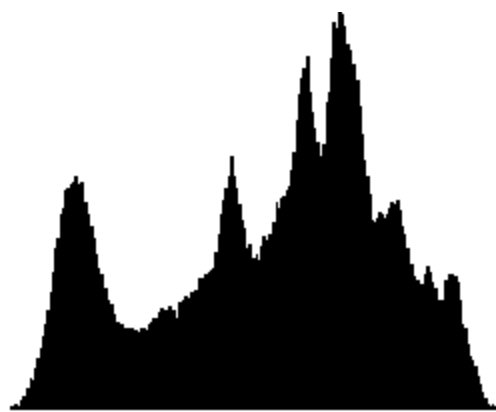


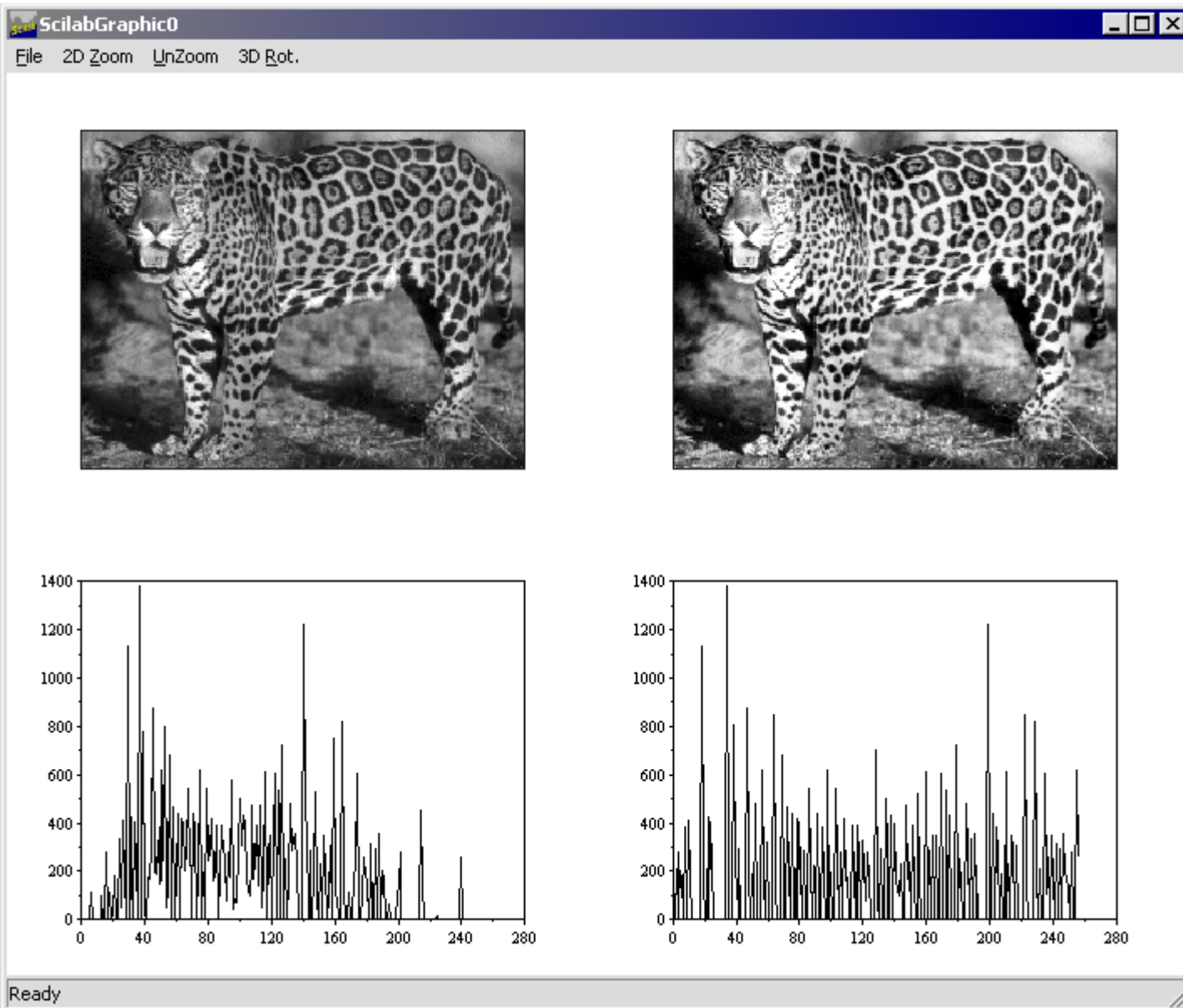
a) Histograma acumulado da imagem original
b) Imagem equalizada



- a) Histograma da imagem equalizada (devido à discretização, não gera valores constantes)
- b) aproximação a uma reta

Mais exemplos





4 Categorias

- Transformações de brilho (histograma, etc.)
- Transformações geométricas (distorções)
- Métodos de filtragem espacial que consideram uma vizinhança local a cada pixel (suavização, filtros)
- Restauração (requer conhecimento sobre a imagem investigada)

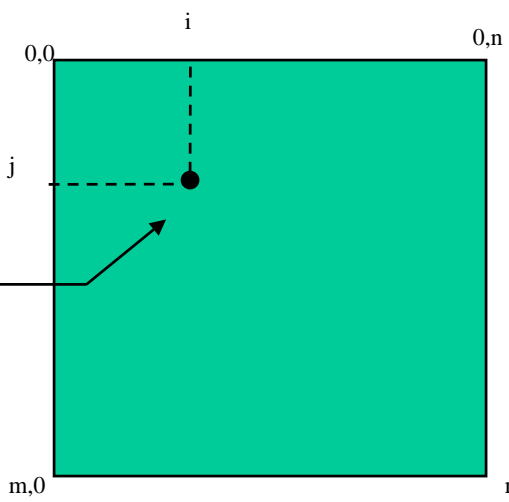
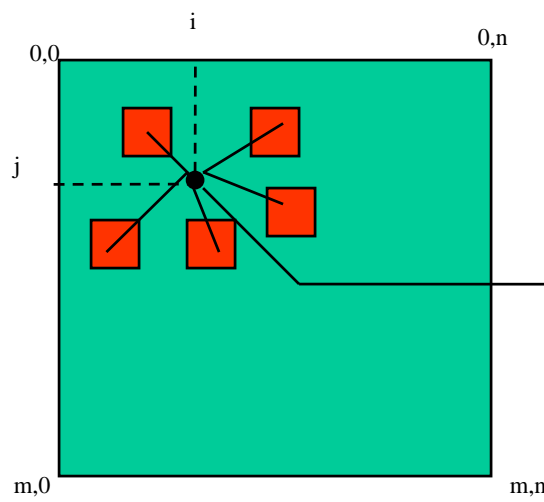
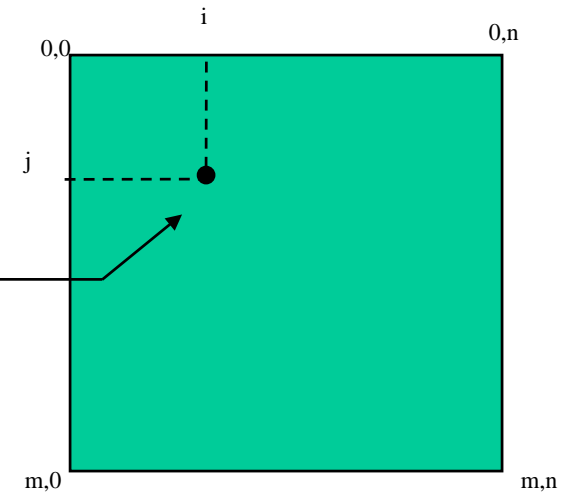
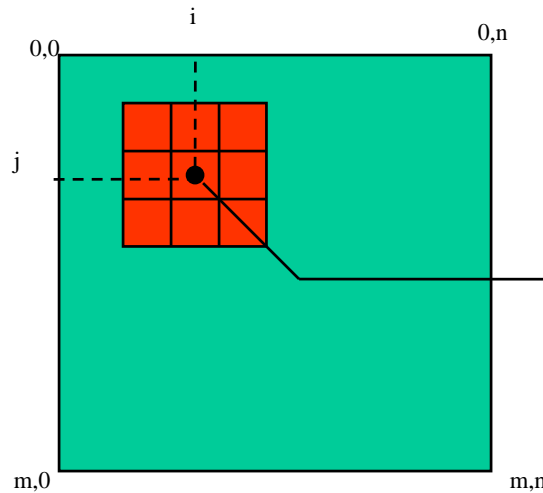
Pré-processamento local

- Utiliza uma vizinhança de poucos pixels para produzir novas intensidades de pixel
- Duas categorias de técnicas
 - **suavização** (*smoothing*): suprimir ruído ou pequenas flutuações nas imagens (supressão de altas frequências)
 - **operadores de gradiente**: derivadas locais das funções de imagem. Por quê? Derivadas são maiores em regiões de rápidas mudanças (supressão de baixas frequências)
- Qual domínio? Espacial ou da Frequência

Filtros digitais no domínio do espaço

- Definição
 - Também conhecidos como operadores locais
 - Os filtros locais são técnicas baseadas na **convolução** de *templates* (janelas, matrizes, máscaras) ou tuplas (conjunto de pixels)
 - Uma grande variedade de filtros digitais pode ser implementada por meio da convolução no domínio espacial

Templates x tuplas



Convolução de gabaritos (*templates*)

- Se $T(x,y)$ é um gabarito ($m \times n$) e $I(x,y)$ é a Imagem ($M \times N$)
- A convolução de $T \otimes I$ é dada por:

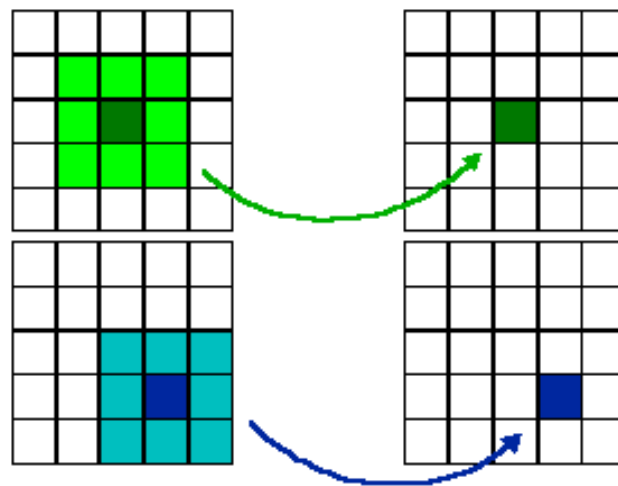
$$T \otimes I(x, y) = \sum_{i=0}^{m-1} \sum_{j=0}^{n-1} T(i, j) I(x + i, y + j)$$

- Ou ainda

Alguns conceitos importantes

Convolução discreta $g(x) = f(x) * h(x) = \sum_{all k} h(x - k)f(k)$

$h(x)$: resposta de impulso (*impulse response*), *kernel*, máscara, filtro ou *template*



Exemplos de convolução

 Filtro Passa-baixa

The diagram shows a convolution operation. The input matrix (Entrada) is a 6x6 grid of value 9. The kernel matrix (Kernel) is a 3x3 grid of value 1. The result is an output matrix (Saída) of size 4x4, where the central element is highlighted in yellow with a value of 5, indicating the result of the convolution step.

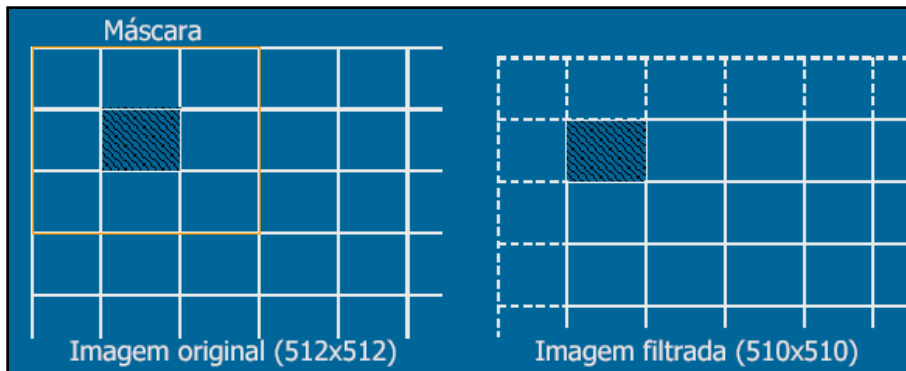
☞ Filtro Passa-alta

The diagram shows a convolution operation mapping a 6x5 input matrix to a 4x5 output matrix using a 3x3 kernel. The result is highlighted in yellow.

$$\begin{array}{|c|c|c|} \hline
 s & s & s \\ \hline
 s & s & s \\ \hline
 s & s & s \\ \hline
 \end{array}
 \otimes
 \begin{array}{|c|c|c|} \hline
 -1 & -1 & -1 \\ \hline
 -1 & s & -1 \\ \hline
 -1 & -1 & -1 \\ \hline
 \end{array}
 =
 \begin{array}{|c|c|c|} \hline
 0 & -12 & 12 & 0 \\ \hline
 \end{array}$$

Tratamento das extremidades da imagem

- Convolução aperiódica
 - Não considera os pontos da imagem onde o gabarito não se encaixa na imagem



- Convolução Periódica
 - O gabarito é deslocado sobre as extremidades da Imagens como se estas fossem adjacentes
- Gabarito Truncado
 - Quando o gabarito não se encaixa na imagem o gabarito é truncado

Convolução x Custo Computacional

- O custo computacional da convolução é alto
 - Em uma imagem $M \times M$ e um *template* $N \times N$ são realizadas $M^2 \times N^2$.
 - Se a imagem é de 512×512 e o gabarito é de 16×16 , são necessárias 67.108.864 multiplicações
 - Computação paralela

Filtros Digitais – gabarito

- Passa Baixa e média espacial
 - Filtragem mediana
 - Passa Alta
 - Passa Banda
 - Gradientes (roberts, sobel, etc.)
-
- Suavização
- Detectores de Bordas

Filtro Passa-Baixa

- Suavização ("*Smoothing*") da imagem
- Redução do efeito de ruído e detalhes irrelevantes
- Maior a máscara, maior efeito de borramento

$$\begin{bmatrix} 1/9 & 1/9 & 1/9 \\ 1/9 & 1/9 & 1/9 \\ 1/9 & 1/9 & 1/9 \end{bmatrix}$$

$$\begin{bmatrix} 1 & 2 & 1 \\ 2 & 4 & 2 \\ 1 & 2 & 1 \end{bmatrix} *1/16$$

$$\begin{bmatrix} 1 & 1 & 1 \\ 1 & 2 & 1 \\ 1 & 1 & 1 \end{bmatrix} *1/10$$

Filtro Passa-Baixa

- Filtro Gaussiano
 - “semelhante” ao filtro da média. A máscara representa o formato de uma Gaussiana.

1/256	4/256	6/256	4/245	1/256
4/256	16/256	24/256	16/256	4/256
6/256	24/256	36/256	24/256	6/256
4/256	16/256	24/256	16/256	4/256
1/256	4/256	6/256	4/245	1/256

- Curiosidade: como gerar uma máscara de convolução espacial Gaussiana?
<http://www.lcad.icmc.usp.br/~jbatista/procimg/gaussian.c>

Filtro Passa-Baixa



Filtro Média : Exemplo



Original



Filtragem de média 3x3

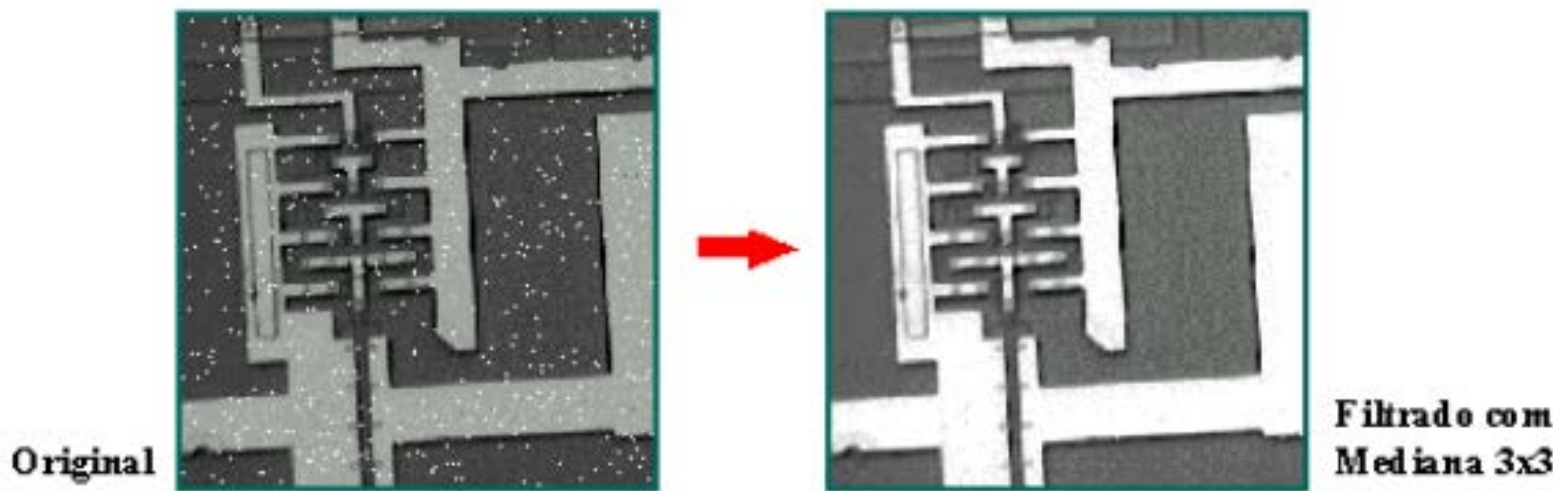


Filtragem de média 5x5

Filtro de Mediana

- Os filtros de mediana permitem, tal como os filtros de média, reduzir o ruído das imagens sem, no entanto, esbater as arestas e os contornos das mesmas
- O valor mediano de um conjunto é aquele para o qual existem metade dos valores menores que ele e metade maiores que ele
- Este tipo de filtro é particularmente adaptado à remoção de ruído impulsivo que aparece em regiões limitadas da imagem

Filtro de Mediana



Filtro de Mediana: Exemplo



Imagen original



Imagen com ruído adicionado
(20%)



Imagen depois de filtrada com
um filtro de mediana 3x3

Comparação Mediana/Média



Imagen com ruído adicionado
(20%)



Imagen depois de filtrada com
um filtro de mediana 3x3



Imagen depois de filtrada com
um filtro de média

Comparação Mediana/Média



ruído



Média 3x3



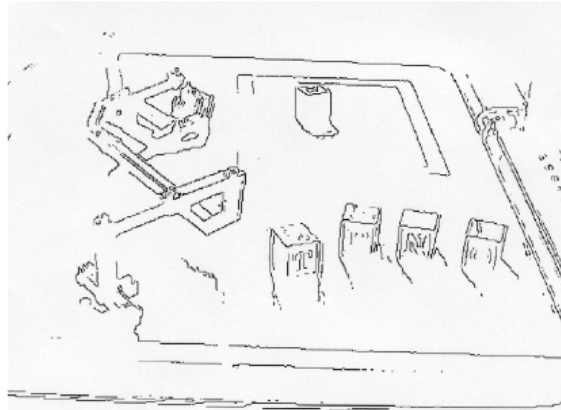
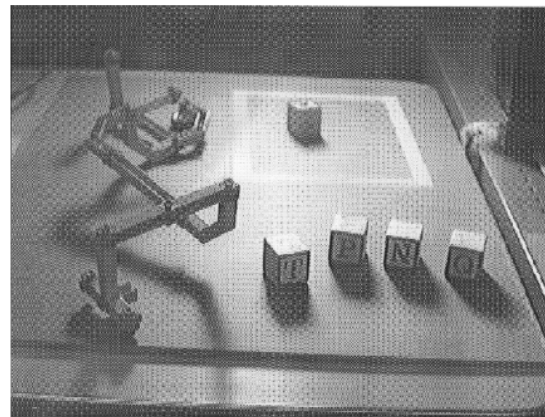
Mediana 3x3

Observações

- *Edges* (arestas/bordas): pixels nos quais há uma mudança brusca na intensidade
- *Boundary* (contorno): linha fechada formada pelas bordas de um objeto

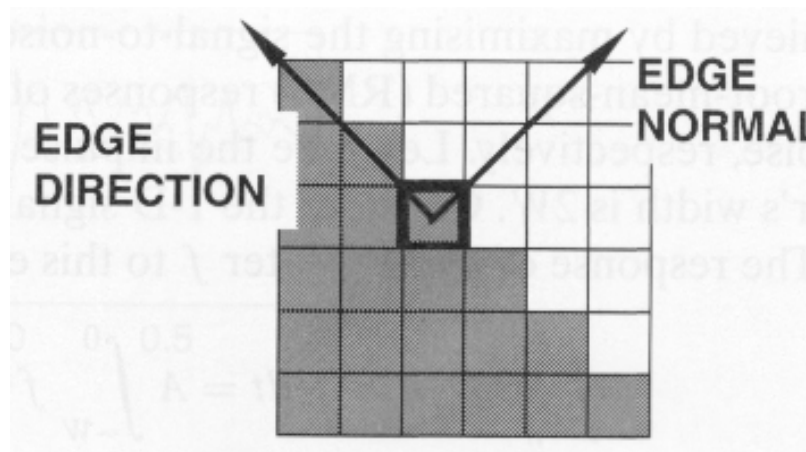
O que causa mudanças na intensidade?

- Eventos Geométricos
 - Descontinuidades no contorno ou orientação da superfície e/ou cor da superfície e textura
- Eventos não geométricos
 - Mudança de iluminação
 - Luz especular
 - Sombras



Descritores de Borda

- Normal: vetor unitário na direção da mudança máxima de intensidade
- Direção: vetor unitário perpendicular à normal
- Posição: posição na imagem em que a borda está localizada
- “Strength”: relacionado ao contraste local ao longo da normal

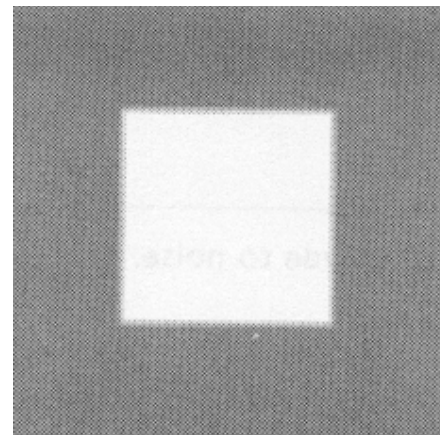
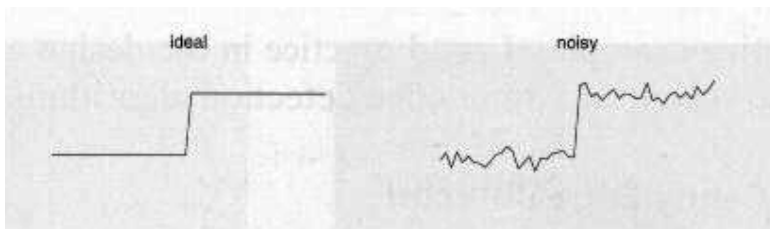


Tipos de bordas

- Degrau (*step*)
- Rampa (*ramp*)
- Platô (*ridge*)
- Telhado (*roof*)

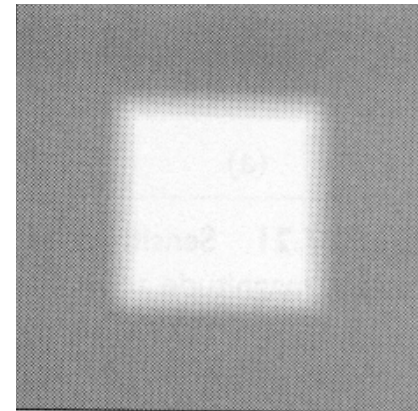
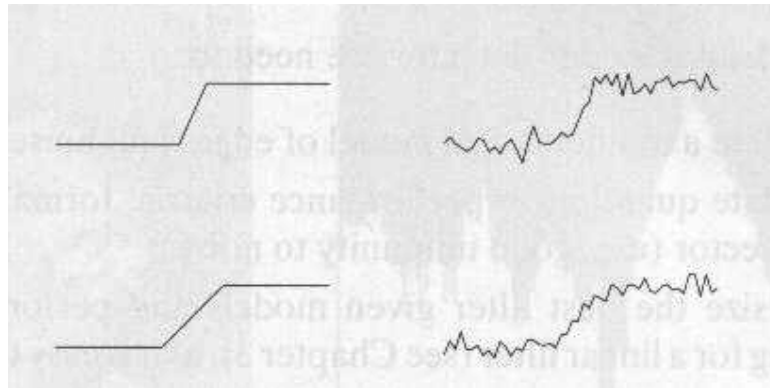
Borda degrau (*step edge*)

- A intensidade muda abruptamente de um valor (de um lado) para um outro valor (para o lado oposto da descontinuidade)



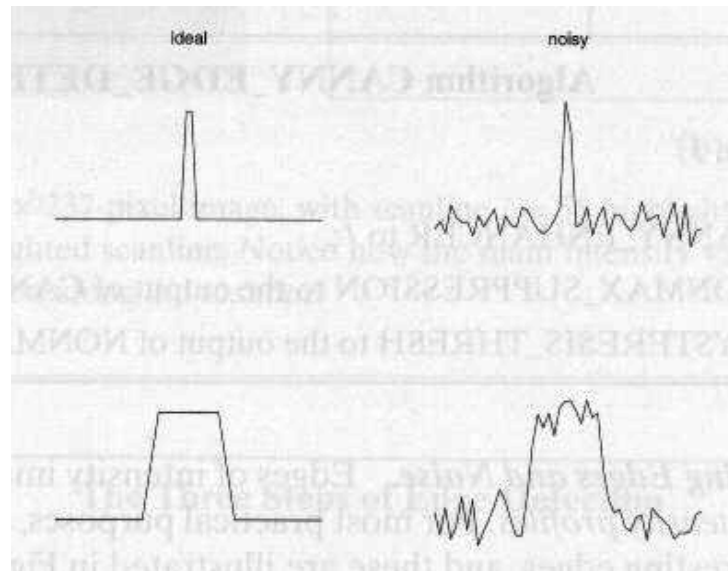
Borda rampa (*ramp edge*)

- Um degrau em que a mudança de intensidade não é instantânea, mas ocorre em uma distância finita



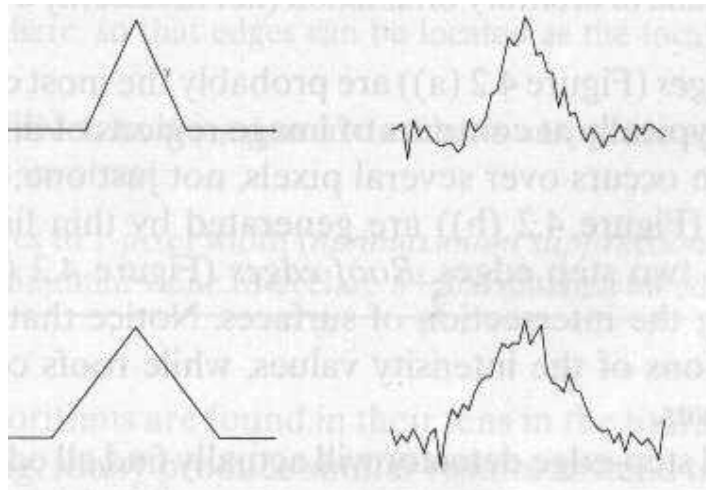
Borda platô *Ridge edge*

- Mudança abrupta de intensidade, voltando ao ponto de partida após curta distância (geralmente causada por linhas na imagem)



Borda Telhado (*roof edge*)

- Um *ridge edge* ocorre quando a mudança de intensidade não é instantânea, ocorrendo numa distância finita (geralmente causada pela intersecção de duas superfícies)



Filtros detectores de bordas

- Realçam detalhes, produzindo uma "agudização" ("*sharpening*") da imagem, isto é, as transições entre regiões diferentes tornam-se mais nítidas. Estes filtros podem ser usados para realçar certas características presentes na imagem, tais como bordas, linhas curvas ou manchas, mas enfatizam o ruído existente na imagem.

Principais etapas na detecção de bordas

- Suavização: eliminar ruídos desnecessários
- Agudização (*Enhancement*): aplicar filtro para realçar a qualidade das bordas na imagem
- Detecção: determinar que bordas devem ser descartadas (ruído) e quais devem ser mantidas
 - Limiarização na “strength” da borda !
- Localização: determinar local exato da bordas

Tratamento matemático de arestas

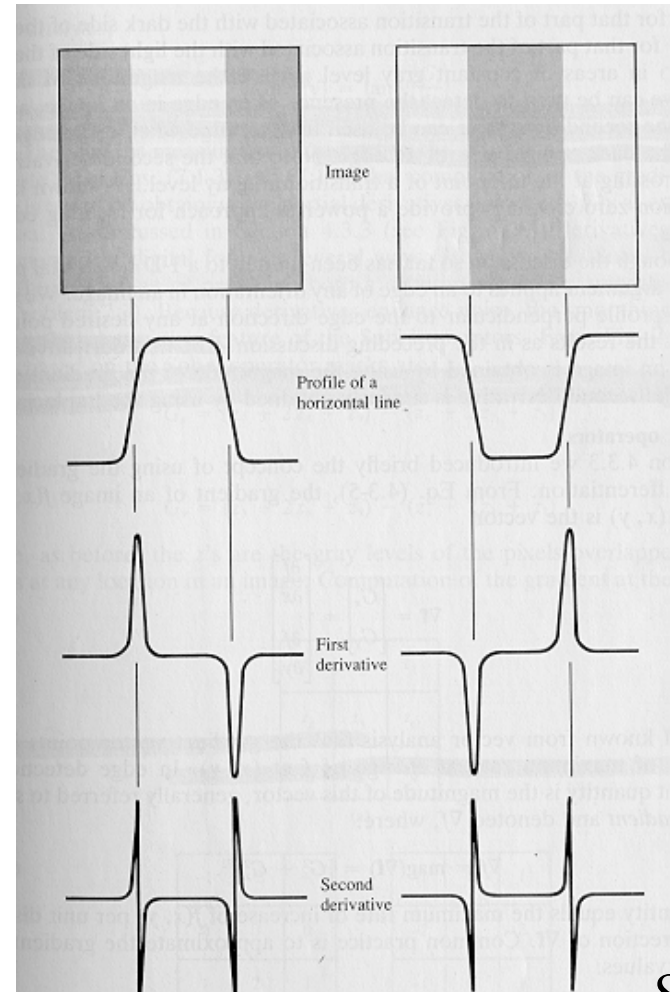
- Derivadas: representam mudanças em funções contínuas, assim operadores que descrevem arestas podem ser expressos em termos de derivadas parciais
- Mudanças na função imagem podem ser representadas pelo Gradiente
- Uma aresta é uma variável vetorial, com magnitude e direção

Detectores de Borda

- Os detectores de bordas são baseados em diferenciação, sendo que pode-se considerar derivadas de primeira ordem ou de segunda ordem
- gradiente ->borda -> módulo do vetor
- laplaciano ->borda-> cruzamento por zero

Detecção de bordas por derivadas

- Pontos que estão nas bordas podem ser localizados
 - (1) detectando-se um local **maxima** ou **minima** da primeira derivada
 - (2) detectando-se os **zero-crossings** da segunda derivada



Detecção de borda usando 1^a Derivada – 1D

$$f'(x) = \lim_{h \rightarrow 0} \frac{f(x+h) - f(x)}{h} \approx f(x+1) - f(x) \quad (h=1)$$

mask: $\begin{bmatrix} -1 & 1 \end{bmatrix}$

mask $M = [-1, 0, 1]$ (centrada em x)

Borda degrau para cima

S_1			12	12	12	12	12	24	24	24	24	24
S_1	\otimes	M	0	0	0	0	12	12	0	0	0	0

Borda degrau para baixo

S_2			24	24	24	24	24	12	12	12	12	12
S_2	\otimes	M	0	0	0	0	-12	-12	0	0	0	0

Borda rampa

S_3			12	12	12	12	15	18	21	24	24	24	
S_3	\otimes	M	0	0	0	0	3	6	6	6	3	0	0

Borda telhado

S_4			12	12	12	12	24	12	12	12	12	12
S_4	\otimes	M	0	0	0	12	0	-12	0	0	0	0

Detecção de borda usando 2^a Derivada – 1D

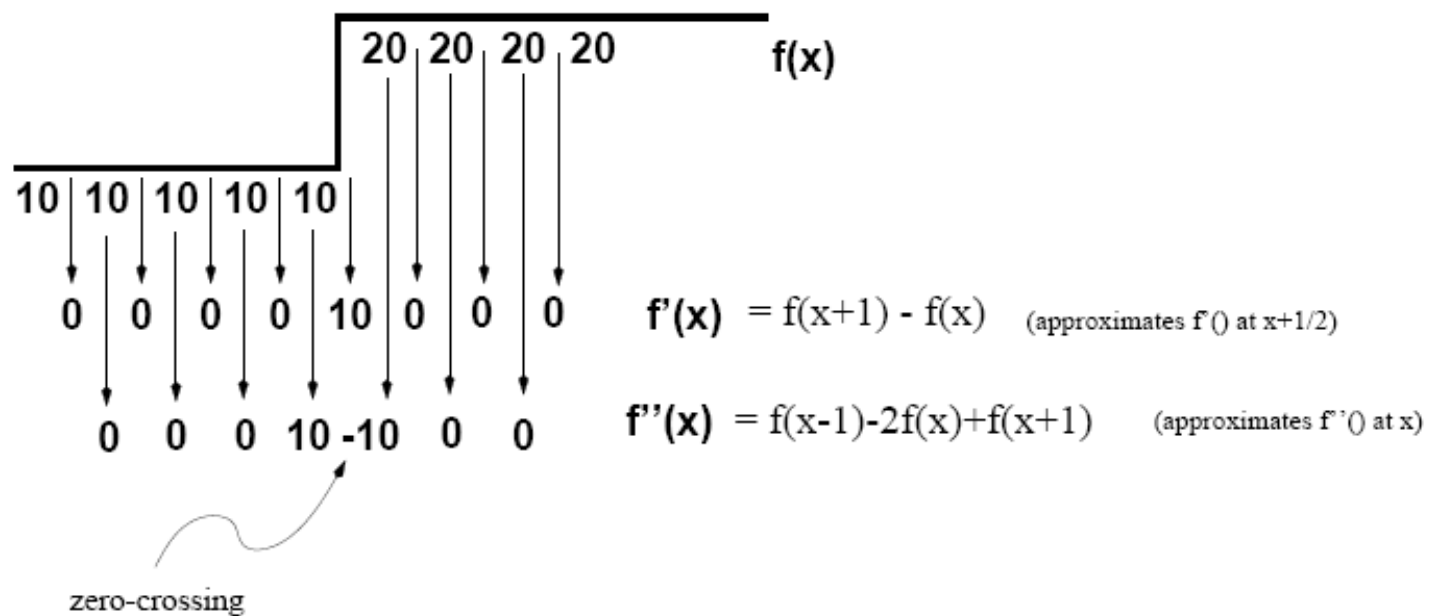
$$f''(x) = \lim_{h \rightarrow 0} \frac{f'(x+h) - f'(x)}{h} \approx f'(x+1) - f'(x) =$$
$$f(x+2) - 2f(x+1) + f(x) \quad (h=1)$$

Substituindo $x+1$ por x (ou seja, centrando em x):

$$f''(x) \approx f(x+1) - 2f(x) + f(x-1)$$

mask: [1 -2 1]

Detecção de borda usando 2^a Derivada – 1D



Detecção de borda usando 2^a Derivada – 1D

Borda degrau para cima

S_1				12	12	12	12	12	24	24	24	24	24
S_1	\otimes	M		0	0	0	0	-12	12	0	0	0	0

Borda degrau para baixo

S_2				24	24	24	24	24	24	12	12	12	12
S_2	\otimes	M		0	0	0	0	12	-12	0	0	0	0

Borda em rampa

S_3				12	12	12	12	15	18	21	24	24	24
S_3	\otimes	M		0	0	0	-3	0	0	0	3	0	0

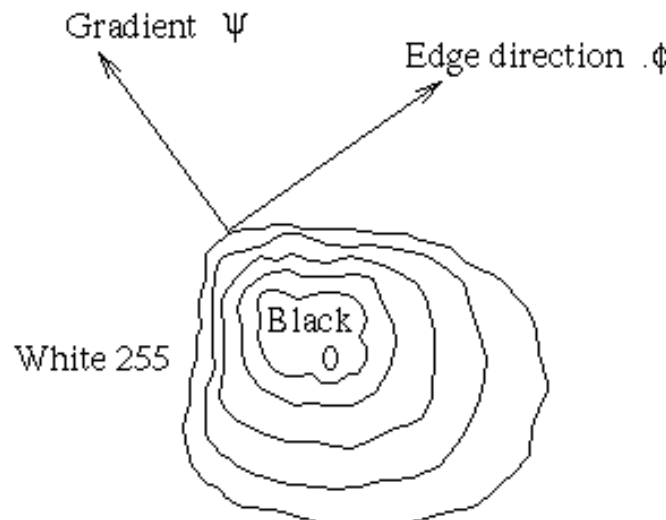
Borda telhado

S_4				12	12	12	12	24	12	12	12	12	12
S_4	\otimes	M		0	0	0	-12	24	-12	0	0	0	0

Considerações sobre bordas e derivadas

- Primeira ordem
 - Produzem bordas mais espessas
 - A magnitude da resposta é menor, pois é menos agressiva na hora de facilitar as mudanças bruscas
- Segunda ordem
 - Realçam mais os detalhes (incluindo ruídos!)
 - Nas rampas ou degraus, apresenta sinais opostos (efeito borda dupla)
 - Sinal pode ser usado para determinar se uma borda é uma transição de claro p/ escuro (derivada negativa) ou escuro/claro (derivada positiva)

O Gradiente



$$|grad g(x, y)| = \sqrt{\left(\frac{\partial g}{\partial x}\right)^2 + \left(\frac{\partial g}{\partial y}\right)^2}$$

$$\psi = arg\left(\frac{\partial g}{\partial x}, \frac{\partial g}{\partial y}\right)$$

- Em PI as derivadas de primeira ordem são implementadas utilizando-se a magnitude do gradiente
- A direção do gradiente é perpendicular à aresta e dá sempre a direção de crescimento da função: menor p/ maior intensidade !

Detecção de Borda com 1^a Derivada – 2D Gradiente

- O Gradiente é definido como:

$$\frac{\partial f}{\partial x} = \lim_{h \rightarrow 0} \frac{f(x+h, y) - f(x, y)}{h} \quad \frac{\partial f}{\partial y} = \lim_{h \rightarrow 0} \frac{f(x, y+h) - f(x, y)}{h}$$

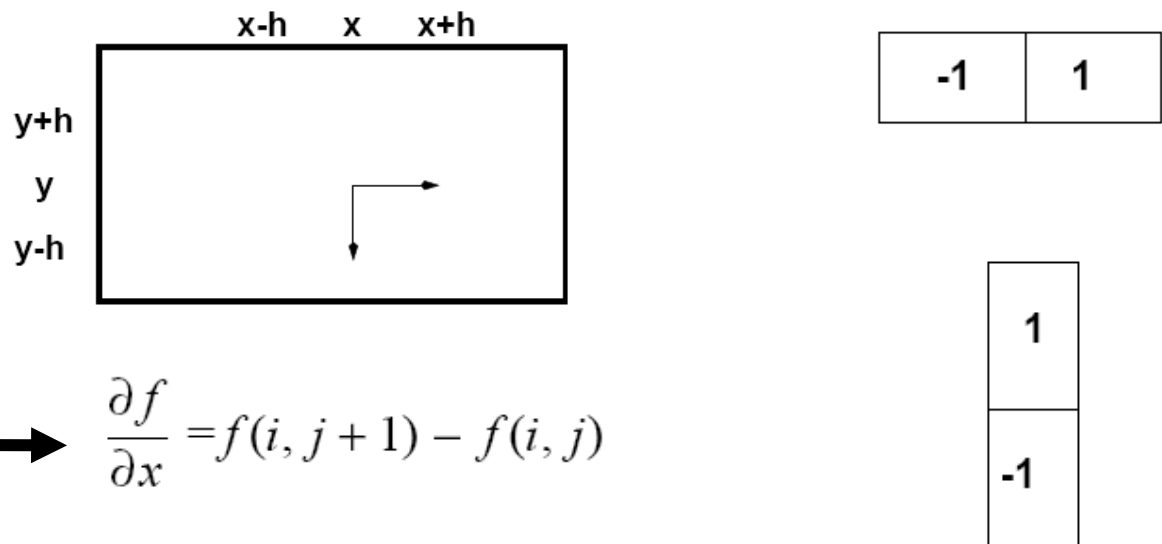
- Aproximação do gradiente por diferenças finitas:

$$\frac{\partial f}{\partial x} = \frac{f(x + h_x, y) - f(x, y)}{h_y} = f(x + 1, y) - f(x, y), \quad (h_x = 1)$$

$$\frac{\partial f}{\partial y} = \frac{f(x, y + h_y) - f(x, y)}{h_y} = f(x, y + 1) - f(x, y), \quad (h_y = 1)$$

Detecção de Borda com 1^a Derivada – 2D Gradiente

- Na notação de coordenadas de pixel, j corresponde à direção x e i à direção negativa y



$$f(x+1, y) - f(x, y) \rightarrow \frac{\partial f}{\partial x} = f(i, j+1) - f(i, j)$$

$$f(x, y+1) - f(x, y), \rightarrow \frac{\partial f}{\partial y} = f(i, j) - f(i+1, j)$$

Observações sobre Gradiente

- Como os componentes do vetor gradiente são derivadas, estes são operadores lineares
- A magnitude, no entanto, não é linear (potência e raiz quadrada)
- As derivadas parciais são anisotrópicas, ou seja, não são invariantes a rotações. Mas a magnitude é invariante à rotação (isotrópica)

Operadores de primeira ordem

- Roberts
- Sobel
- Prewitt
- Kirsh

Operador baseado na 1^a Derivada – **2D** Roberts

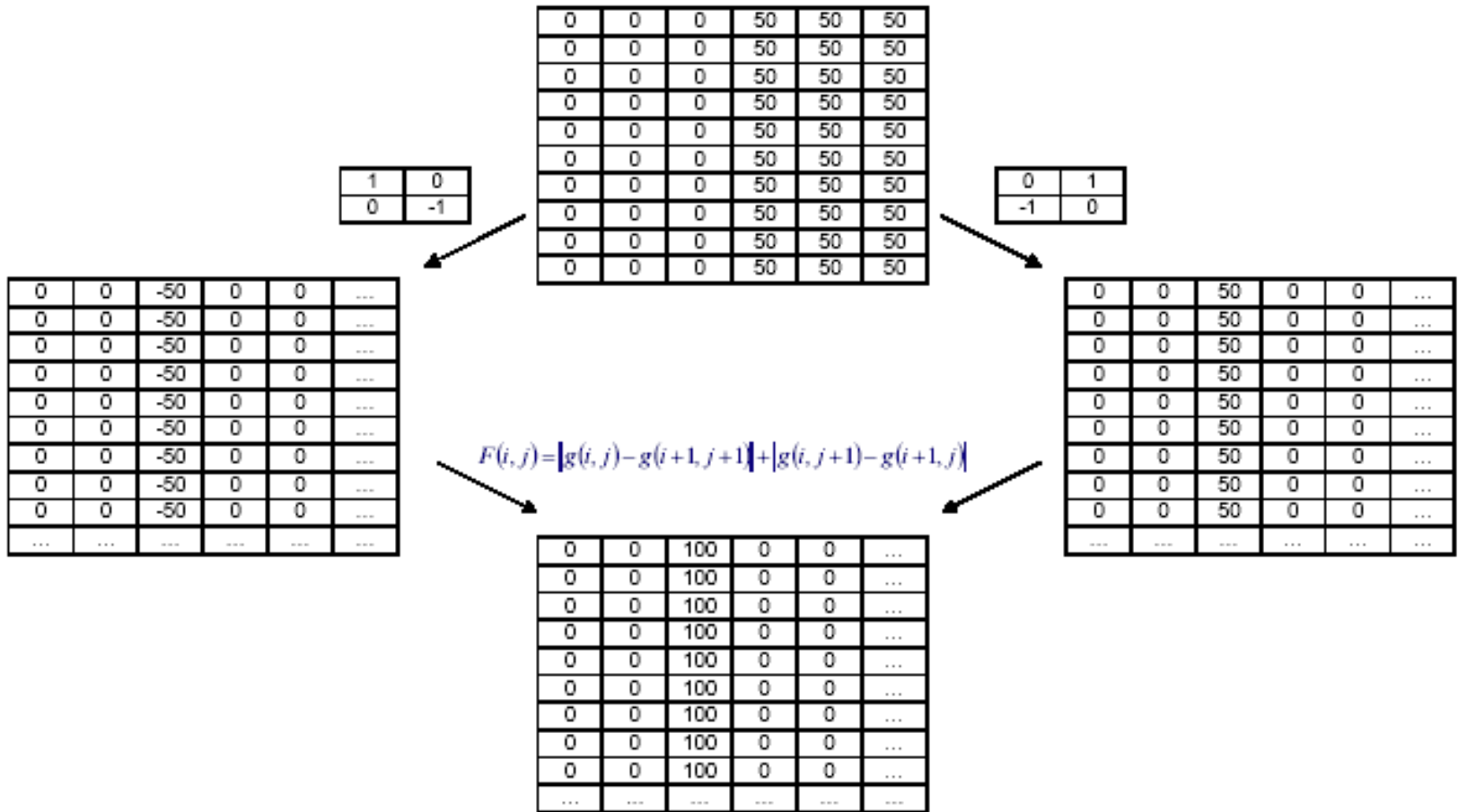
$$\frac{\partial f}{\partial x} = f(i, j) - f(i + 1, j + 1)$$

$$\frac{\partial f}{\partial y} = f(i + 1, j) - f(i, j + 1)$$

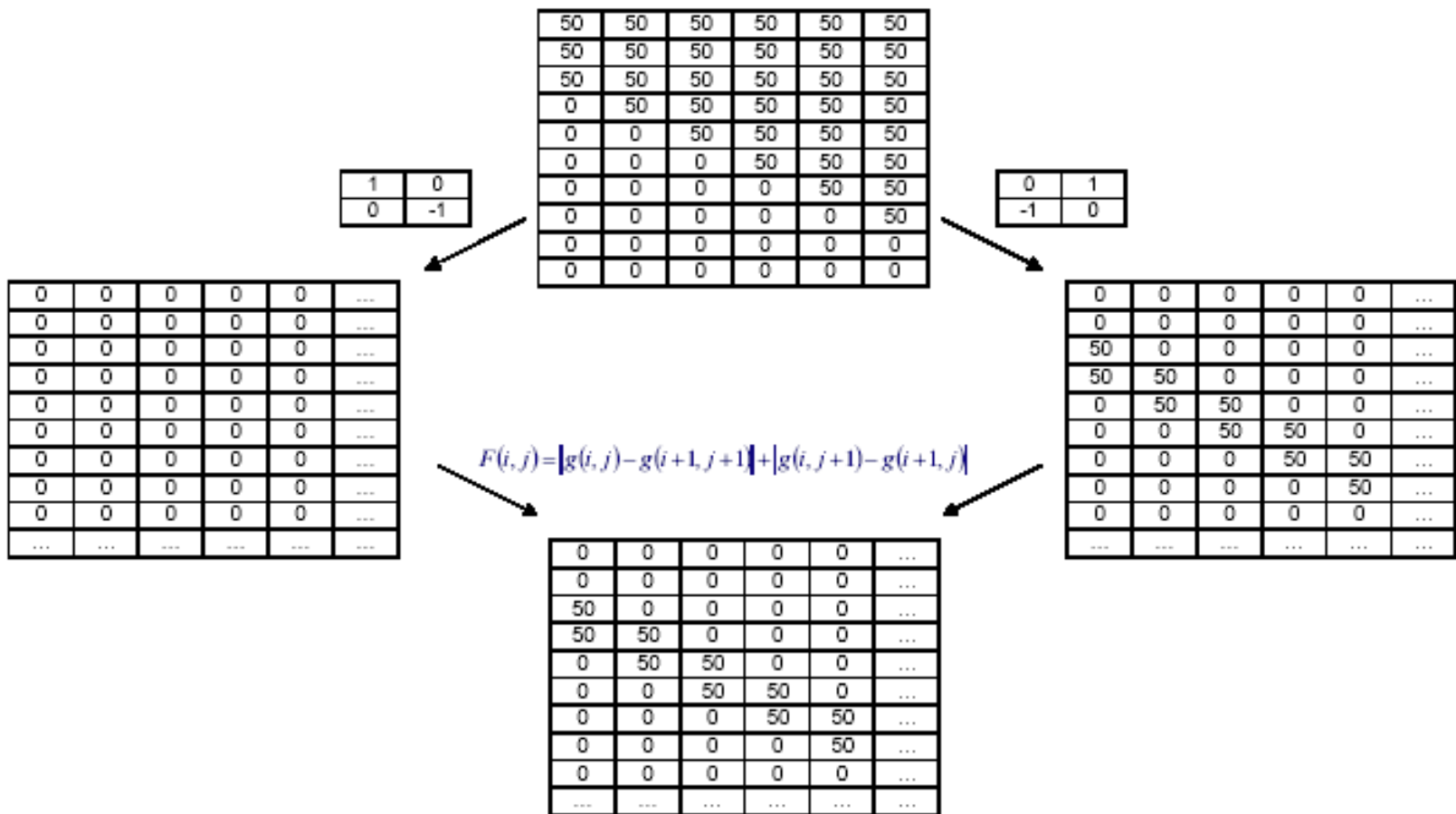
$$M_x = \begin{bmatrix} 1 & 0 \\ 0 & -1 \end{bmatrix} \quad M_y = \begin{bmatrix} 0 & -1 \\ 1 & 0 \end{bmatrix}$$

M_x e M_y são aproximações em $i + \frac{1}{2}$ e $j + \frac{1}{2}$

Operadores de Roberts



Operadores de Roberts



Operador baseado na 1^a Derivada – 2D

Outra aproximação

- Considere o arranjo de pixels ao redor de (i, j) :

$$\begin{array}{ccc} a_0 & a_1 & a_2 \\ a_7 & [i, j] & a_3 \\ a_6 & a_5 & a_4 \end{array}$$

- As derivadas parciais podem ser computadas como:

$$M_x = (a_2 + ca_3 + a_4) - (a_0 + ca_7 + a_6)$$

$$M_y = (a_6 + ca_5 + a_4) - (a_0 + ca_1 + a_2)$$

- A constante c implica que a ênfase foi dada ao pixel mais próximo ao centro da máscara

Operador baseado na 1^a Derivada – **2D** Prewitt

- Setando $c = 1$, temos o operador Prewitt !

$$M_x = \begin{bmatrix} -1 & 0 & 1 \\ -1 & 0 & 1 \\ -1 & 0 & 1 \end{bmatrix} \quad M_y = \begin{bmatrix} -1 & -1 & -1 \\ 0 & 0 & 0 \\ 1 & 1 & 1 \end{bmatrix}$$

M_x e M_y são aproximações em (i ,j)

Operador baseado na 1^a Derivada – **2D** Sobel

- Fazendo $c = 2$, temos Sobel:

$$M_x = \begin{bmatrix} -1 & 0 & 1 \\ -2 & 0 & 2 \\ -1 & 0 & 1 \end{bmatrix} \quad M_y = \begin{bmatrix} -1 & -2 & -1 \\ 0 & 0 & 0 \\ 1 & 2 & 1 \end{bmatrix}$$

M_x e M_y são aproximações em (i ,j)

Sobel

a	b	c
d	e	f
g	h	i

$$S_x = (c + 2f + i) - (a + 2d + g)$$

$$S_y = (g + 2h + i) - (a + 2b + c)$$

$$S = \sqrt{S_x^2 + S_y^2}$$

Ou numa versão simplificada:

$$S = |S_x| + |S_y|$$

Gradiente Sobel

Sx

Sy

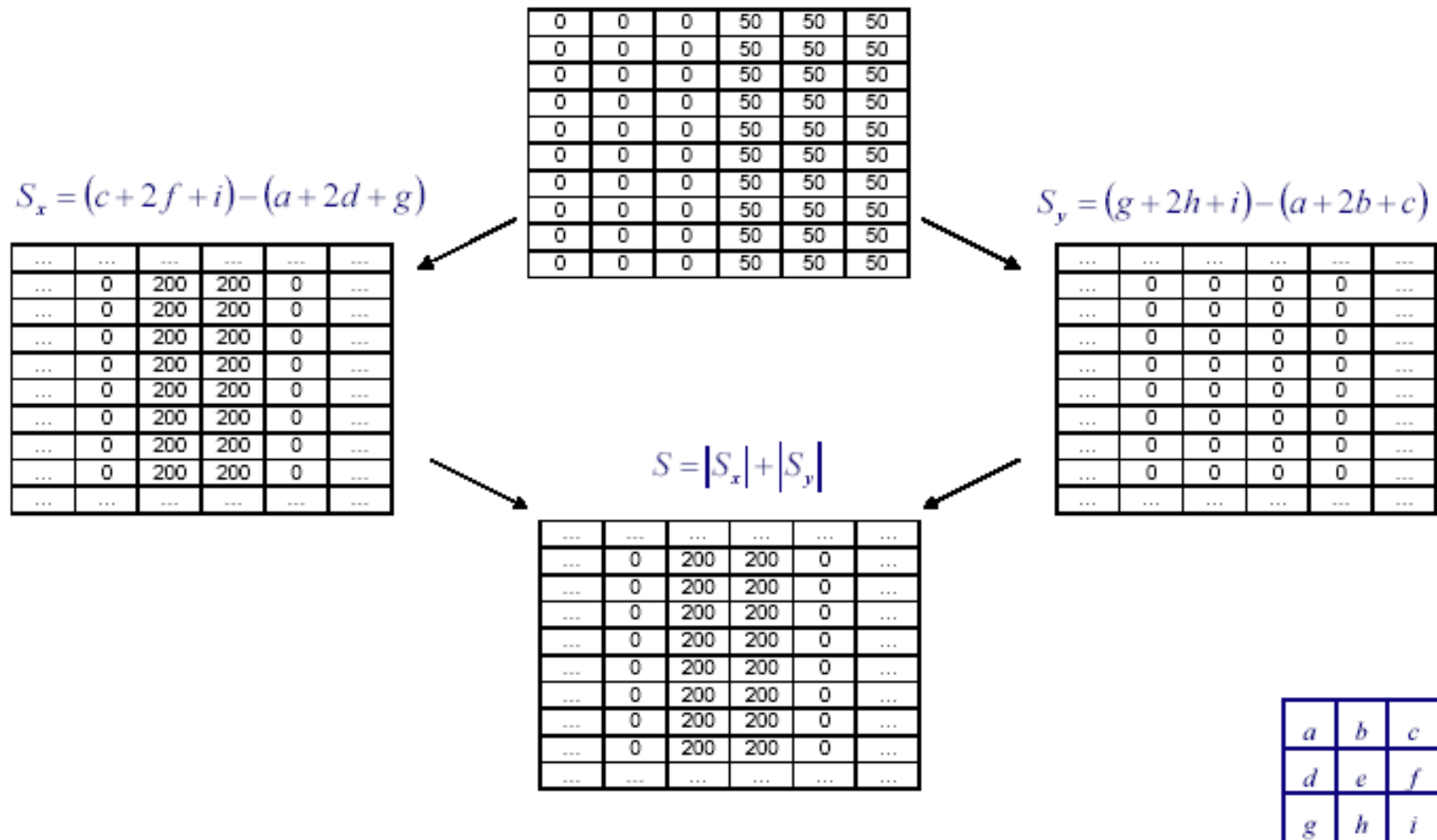


Bordas = thresholding

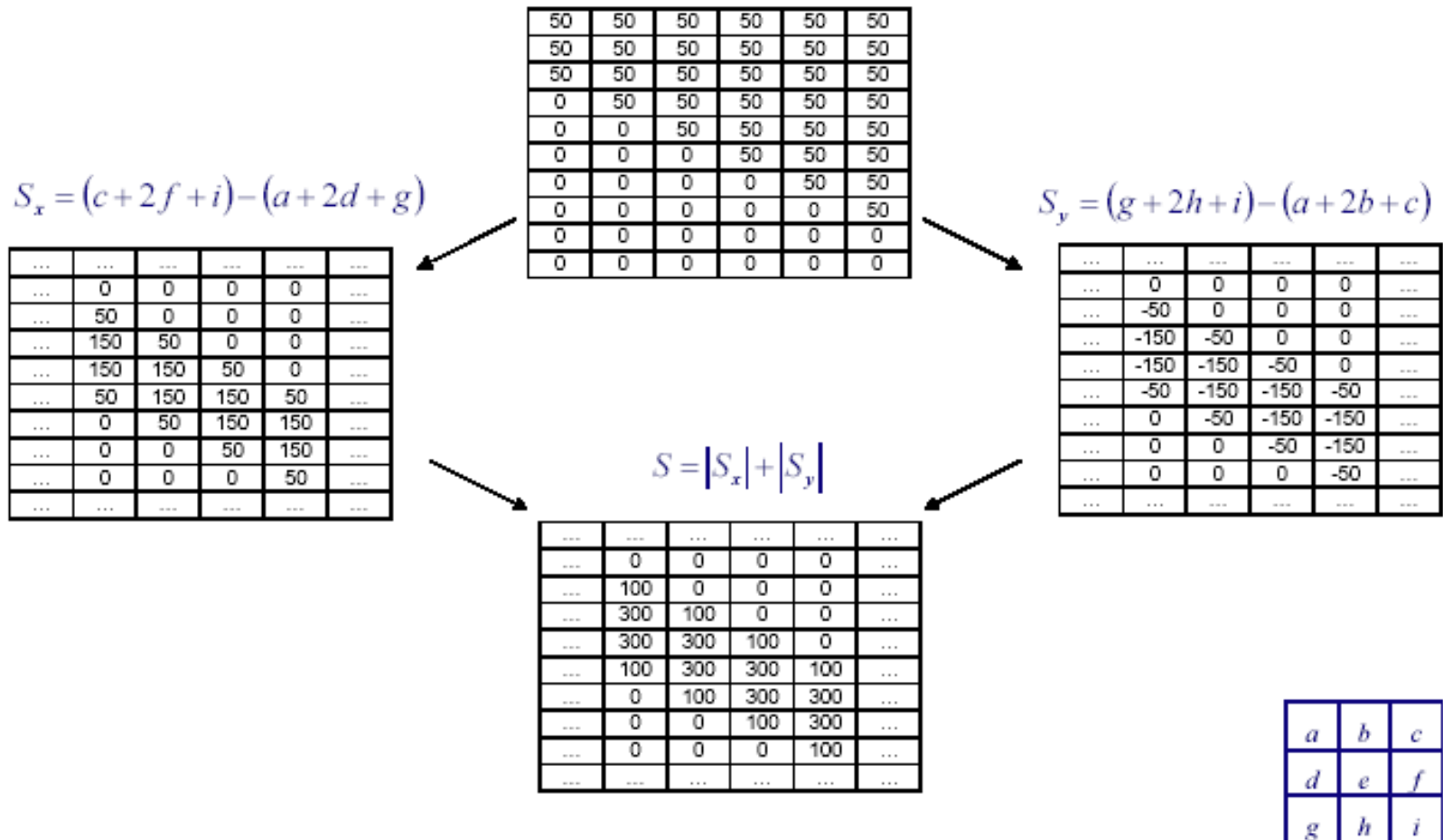
$$|\vec{\nabla}g|$$



Operadores de Sobel



Operadores de Sobel



Operadores de Sobel

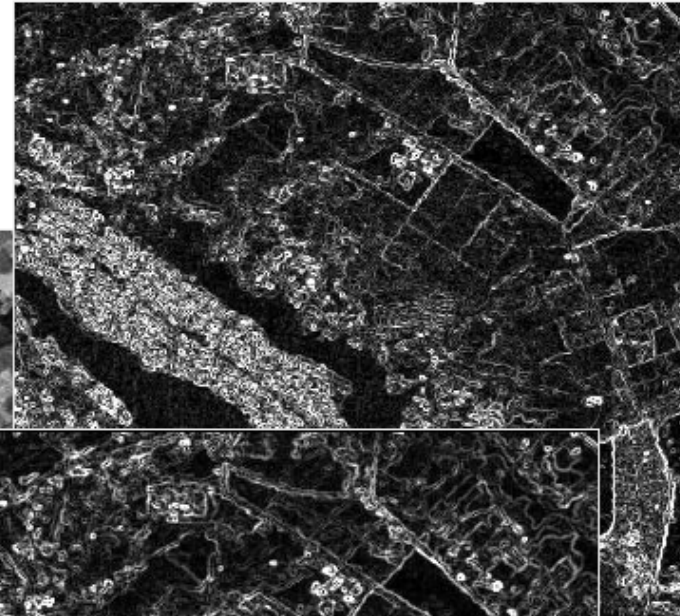


Comparação

Roberts



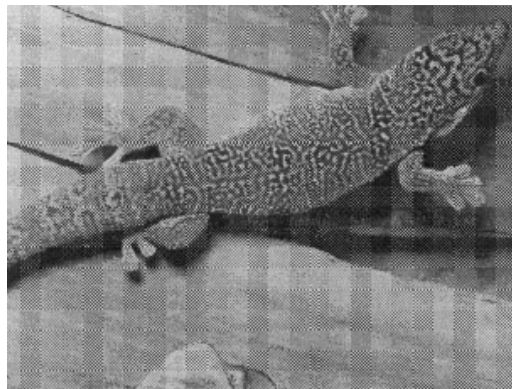
Original



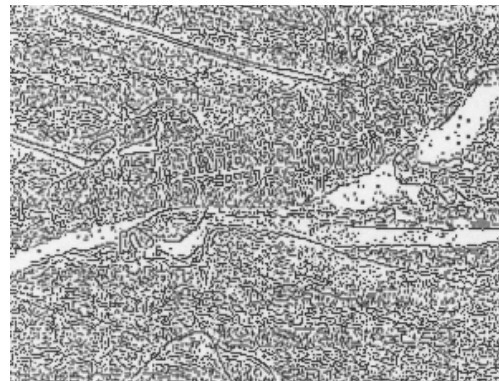
Sobel 102

Questões práticas sobre filtros

- Balanço entre supressão-localização de ruído
 - Filtros maiores reduzem ruído, mas pioram a localização (adicionam incertezas sobre a localização das arestas) e vice-versa



Filtro menor



Filtro maior

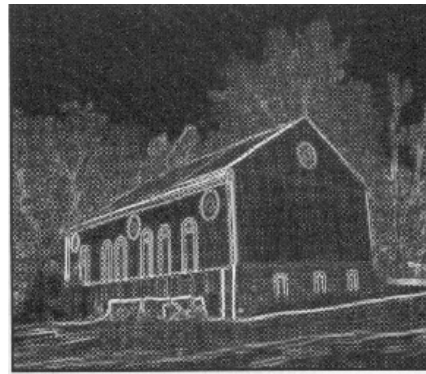


Questões práticas sobre filtros

- Como escolher o limiar ?



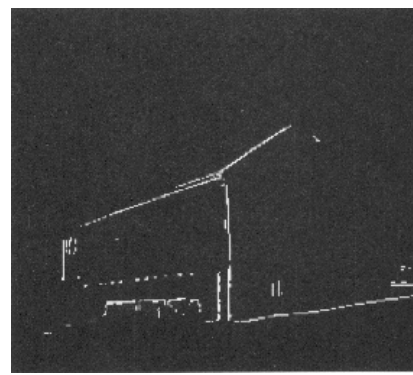
Magnitude do gradiente



Baixo threshold

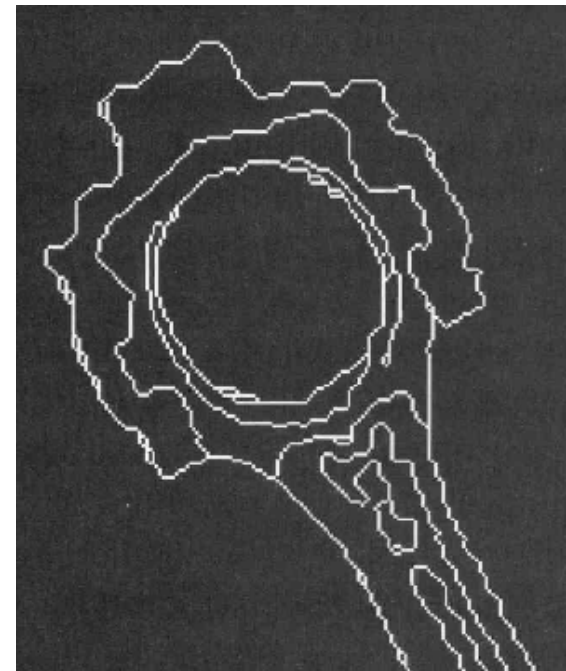
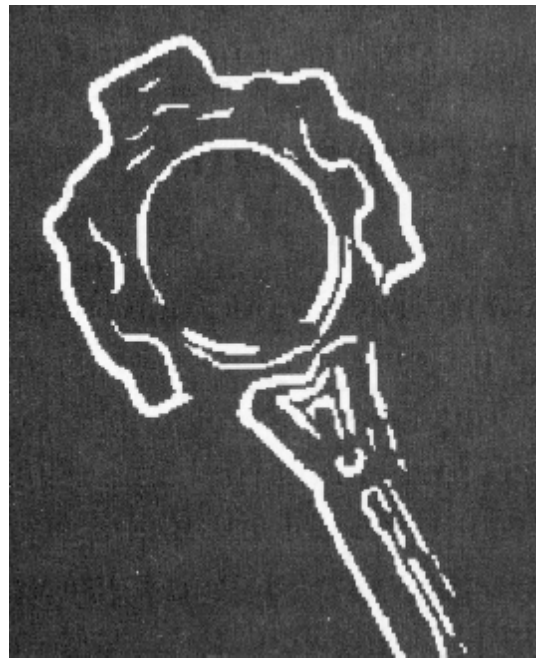


Alto threshold



Questões práticas sobre filtros

- Afinamento e “linking” normalmente são operações necessárias !



Detectores de borda com 2^a Derivada – 2D Laplaciano

$$\nabla^2 f = \frac{\partial^2 f}{\partial x^2} + \frac{\partial^2 f}{\partial y^2}$$

$$\frac{\partial^2 f}{\partial x^2} = f(i, j+1) - 2f(i, j) + f(i, j-1)$$

$$\frac{\partial^2 f}{\partial y^2} = f(i+1, j) - 2f(i, j) + f(i-1, j)$$

$$\nabla^2 f = -4f(i, j) + f(i, j+1) + f(i, j-1) + f(i+1, j) + f(i-1, j)$$

máscara:

0	1	0
1	-4	1
0	1	0

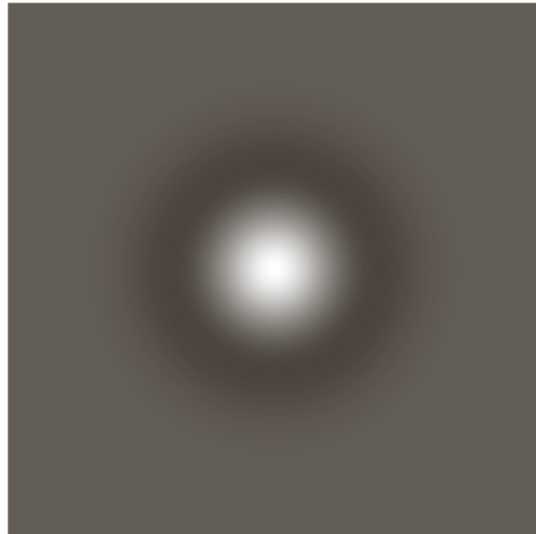
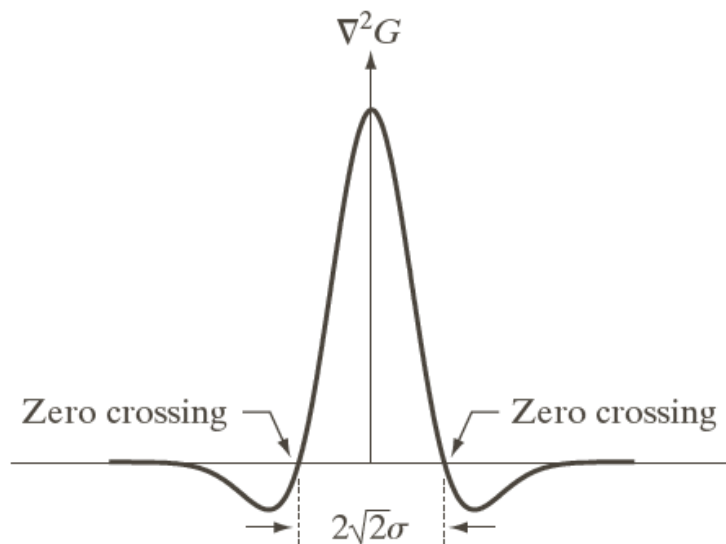
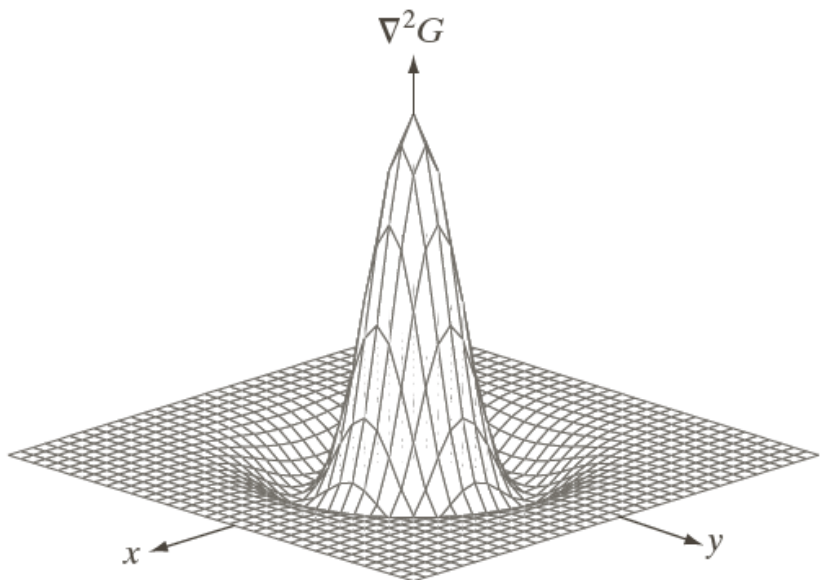
Detectores de borda com 2^a Derivada – 2D

Exemplo Laplaciano

detect zero-crossings

5	5	5	5	5	5
5	5	5	5	5	5
5	5	10	10	10	10
5	5	10	10	10	10
5	5	5	10	10	10
5	5	5	5	10	10

-	-	-	-	-	-
-	0	-5	-5	-5	-
-	-5	10	5	5	-
-	-5	10	0	0	-
-	0	-10	10	0	-
-	-	-	-	-	-



a	b
c	d

FIGURE 10.21
 (a) Three-dimensional plot of the *negative* of the LoG. (b) Negative of the LoG displayed as an image. (c) Cross section of (a) showing zero crossings. (d) 5×5 mask approximation to the shape in (a). The negative of this mask would be used in practice.

0	0	-1	0	0
0	-1	-2	-1	0
-1	-2	16	-2	-1
0	-1	-2	-1	0
0	0	-1	0	0

Detectores de borda com 2^a Derivada – 2D

Propriedades Laplaciano

- É um operador isotrópico (não diferencia direções)
- Fácil de implementar (basta uma máscara)
- Não dá informação sobre a direção da borda
- Mais sensível ao ruído (i.e., deriva duas vezes!)

Detectores de borda com 2^a Derivada – 2D **Laplaciano do Gaussiano (LoG)**

- Para reduzir o efeito do ruído, a imagem é primeiramente suavizada com um filtro passa-baixa
- No caso do LoG, este filtro é uma Gaussiana

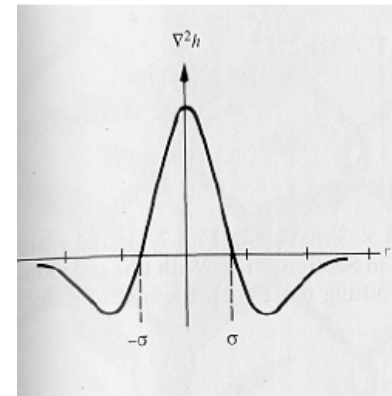
$$G(x, y) = e^{-\frac{x^2+y^2}{2\sigma^2}}$$

σ controla a suavização

- Pode ser mostrado que:

$$\nabla^2[f(x, y) * G(x, y)] = \nabla^2G(x, y) * f(x, y)$$

$$\nabla^2G(x, y) = \left(\frac{r^2 - \sigma^2}{\sigma^4}\right)e^{-r^2/2\sigma^2}, \quad (r^2 = x^2 + y^2)$$



LoG

- Aplicado o filtro LoG, deve-se encontrar o cruzamento por zero
 - Vizinhança 3×3 centrado em p . Um cruzamento por zero em p ocorre quando os sinais de pelo menos dois de seus pixels vizinhos opostos são diferentes! (esquerda/direita; cima/baixo e duas diagonais)
 - Pode-se ainda considerar um limiar entre a diferença absoluta dos vizinhos
- Quanto ao filtro Gaussiano:
 - 99,7% do volume sob uma superfície de uma gaussiana 2D situa-se entre $+- 3\sigma$ ao redor da média.
 - O tamanho do filtro discreto LoG $n \times n$ deve ser tal que n seja o menor inteiro ímpar $\geq 6\sigma$

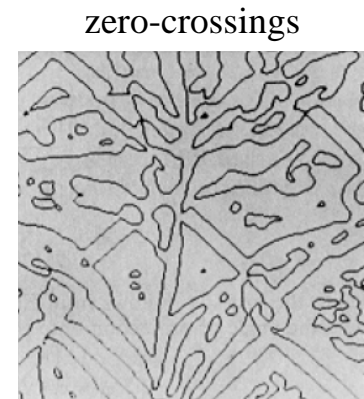
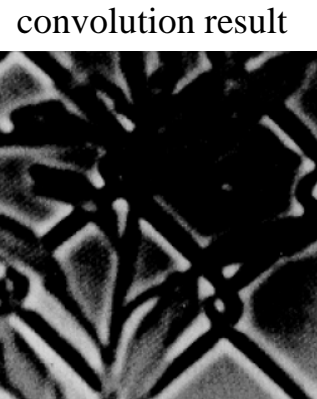
Detectores de borda com 2^a Derivada – 2D Exemplo Laplaciano of Gaussiano (LoG)

5 × 5 Laplacian of Gaussian mask

0	0	-1	0	0
0	-1	-2	-1	0
-1	-2	16	-2	-1
0	-1	-2	-1	0
0	0	-1	0	0

17 × 17 Laplacian of Gaussian mask

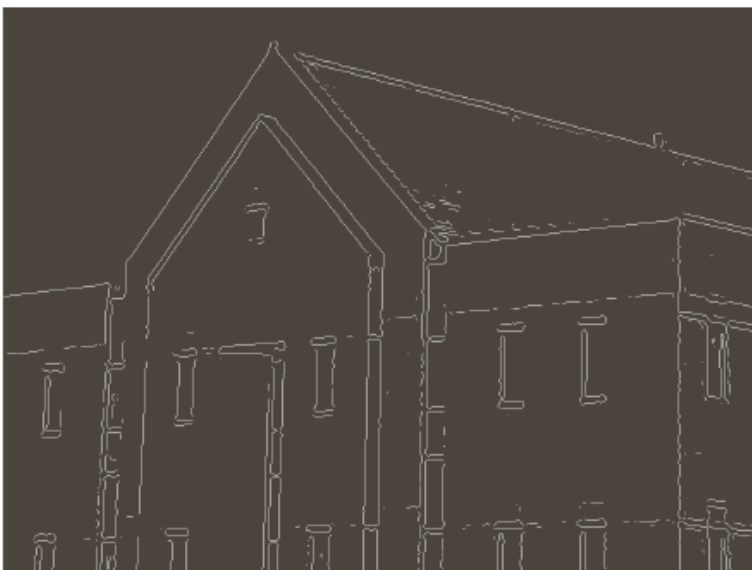
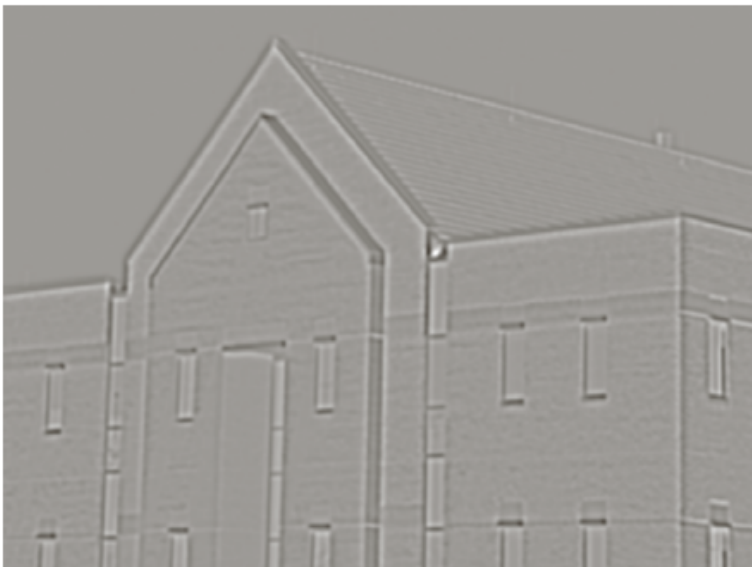
0	0	0	0	0	0	-1	-1	-1	-1	-1	0	0	0	0	0	0	0
0	0	0	0	-1	-1	-1	-1	-1	-1	-1	-1	0	0	0	0	0	0
0	0	-1	-1	-1	-2	-3	-3	-3	-3	-3	-3	-2	-1	-1	-1	0	0
0	0	-1	-1	-2	-3	-3	-3	-3	-3	-3	-3	-2	-1	-1	0	0	0
0	-1	-1	-2	-3	-3	-3	-2	-3	-3	-2	-3	-3	-3	-2	-1	-1	0
0	-1	-2	-3	-3	-3	0	2	4	2	0	-3	-3	-3	-2	-1	0	0
-1	-1	-3	-3	-3	0	4	10	12	10	4	0	-3	-3	-3	-1	-1	-1
-1	-1	-3	-3	-2	2	10	18	21	18	10	2	-2	-3	-3	-1	-1	-1
-1	-1	-3	-3	-3	4	12	21	24	21	12	4	-3	-3	-3	-1	-1	-1
-1	-1	-3	-3	-2	2	10	18	21	18	10	2	-2	-3	-3	-1	-1	-1
-1	-1	-3	-3	0	4	10	12	10	4	0	-3	-3	-3	-1	-1	-1	-1
0	-1	-2	-3	-3	-3	0	2	4	2	0	-3	-3	-3	-2	-1	0	0
0	-1	-1	-2	-3	-3	-3	-2	-3	-2	-3	-3	-3	-2	-1	-1	0	0
0	0	-1	-1	-2	-3	-3	-3	-3	-3	-3	-3	-2	-1	-1	0	0	0
0	0	-1	-1	-1	-2	-3	-3	-3	-3	-3	-3	-2	-1	-1	0	0	0
0	0	0	0	-1	-1	-1	-1	-1	-1	-1	0	0	0	0	0	0	0
0	0	0	0	0	-1	-1	-1	-1	-1	0	0	0	0	0	0	0	0



a b
c d

FIGURE 10.22

- (a) Original image of size 834×1114 pixels, with intensity values scaled to the range $[0, 1]$. (b) Results of Steps 1 and 2 of the Marr-Hildreth algorithm using $\sigma = 4$ and $n = 25$. (c) Zero crossings of (b) using a threshold of 0 (note the closed-loop edges). (d) Zero crossings found using a threshold equal to 4% of the maximum value of the image in (b). Note the thin edges.



Detector de borda Canny

- “Taxonomicamente” este operador deveria estar junto aos operadores de primeira derivada, mas devido à sua “boniteza” foi deixado para o final
 - Marr Hildreth (1980)
 - Canny (1986)
 1. Baixa taxa de erro: encontrar todas as bordas
 2. Boa localização: bordas detectadas o mais próximo das bordas reais
 3. Resposta única: retorna um único ponto de borda (nro. de máximos locais deve ser mínimo)

Detector de borda Canny

- Atacando os critérios taxa de erro e localização
 - Canny mostrou que uma boa aproximação para um detector ótimo de bordas de degrau é a primeira derivada de uma Gaussiana
 - Análise baseada em bordas do tipo degrau (*step-edges*) corrompidas por ruído branco Gaussiano
 - (ruído branco : ruído com espectro de freqüência contínuo e uniforme sobre uma banda específica)
 - (ruído branco Gaussiano: ruído branco em que a distribuição dos valores de amplitude é Gaussiana)
- Critério única resposta
 - Aproximação numérica

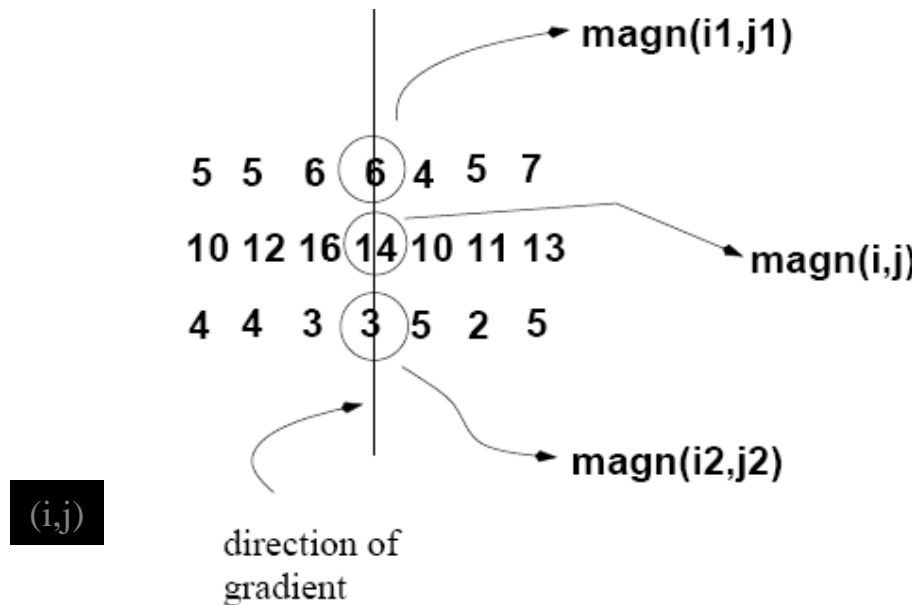
Canny - Etapas

1. Suavizar uma imagem f por uma Gaussiana
 - $F_s(x,y) = f(x,y) * G(x,y)$
2. Para cada pixel, computar a magnitude $M(x,y)$ e a direção do gradiente $\alpha(x,y)$
 - Usar qqr filtro de primeira derivada visto antes
 - $M(x,y)$ fatalmente conterá cristas largas em torno dos máximos locais. Para afinar estas cristas utiliza algoritmo de supressão dos não máximos, afinando $M(x,y)$
3. Limiarizar $M(x,y)$ e analisar conectividade

Canny

Non-maxima suppression

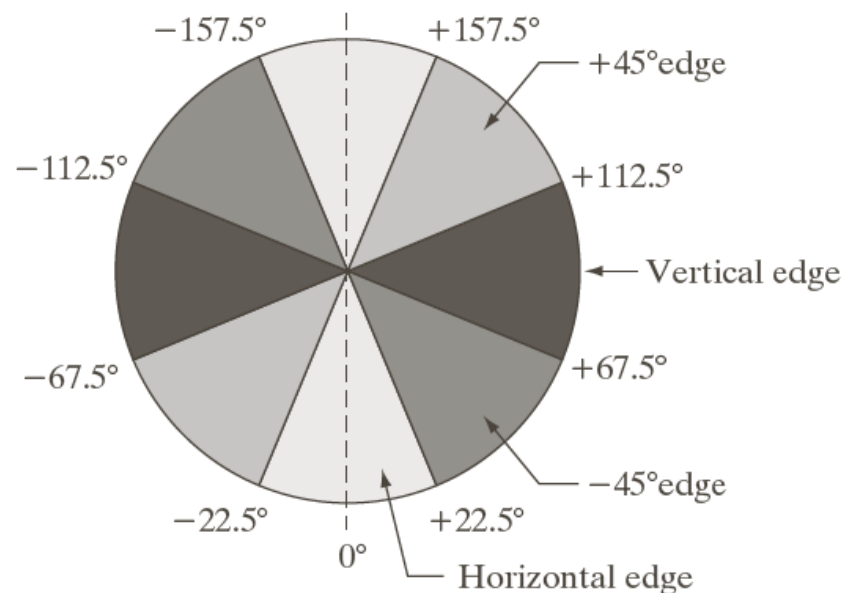
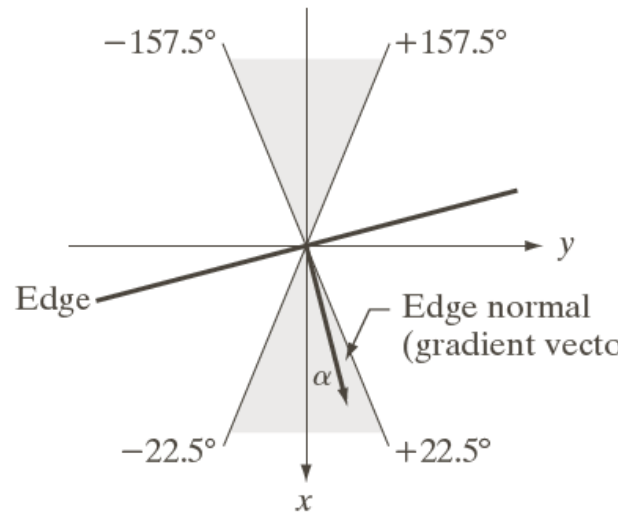
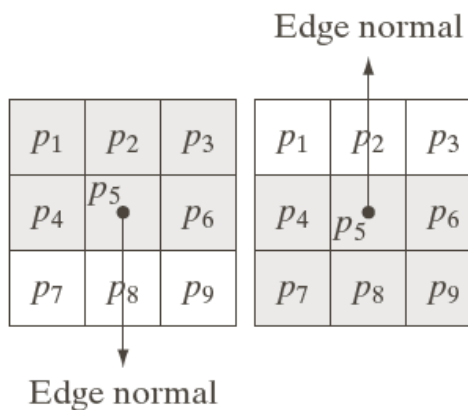
Supressão dos não máximos



Algorithm

For each pixel (x, y) do:

```
if  $magn(i, j) < magn(i_1, j_1)$  or  $magn(i, j) < magn(i_2, j_2)$ 
    then  $I_N(i, j) = 0$ 
else  $I_N(i, j) = magn(i, j)$ 
```



a b
c

FIGURE 10.24

- (a) Two possible orientations of a horizontal edge (in gray) in a 3×3 neighborhood.
- (b) Range of values (in gray) of α , the direction angle of the *edge normal*, for a horizontal edge.
- (c) The angle ranges of the edge normals for the four types of edge directions in a 3×3 neighborhood. Each edge direction has two ranges, shown in corresponding shades of gray.

Canny - Etapas

1. Suavizar uma imagem f por uma Gaussiana
 - $F_s(x,y) = f(x,y) * G(x,y)$
2. Para cada pixel, computar a magnitude $M(x,y)$ e a direção do gradiente $\alpha(x,y)$
 - Usar qqr filtro de primeira derivada visto antes
 - $M(x,y)$ fatalmente conterá cristas largas em torno dos máximos locais. Para afinar estas cristas utiliza algoritmo de supressão dos não máximos, afinando $M(x,y)$
3. Limiarizar $M(x,y)$ e analisar conectividade

Canny

Limiarização por histerese/*edge linking*

- Usar dois limiares
 - Um limiar baixo t_l (obtém I_1)
 - Um limiar alto t_h (obtém I_2 normalmente, $t_h = 2t_l$)

Algorithm

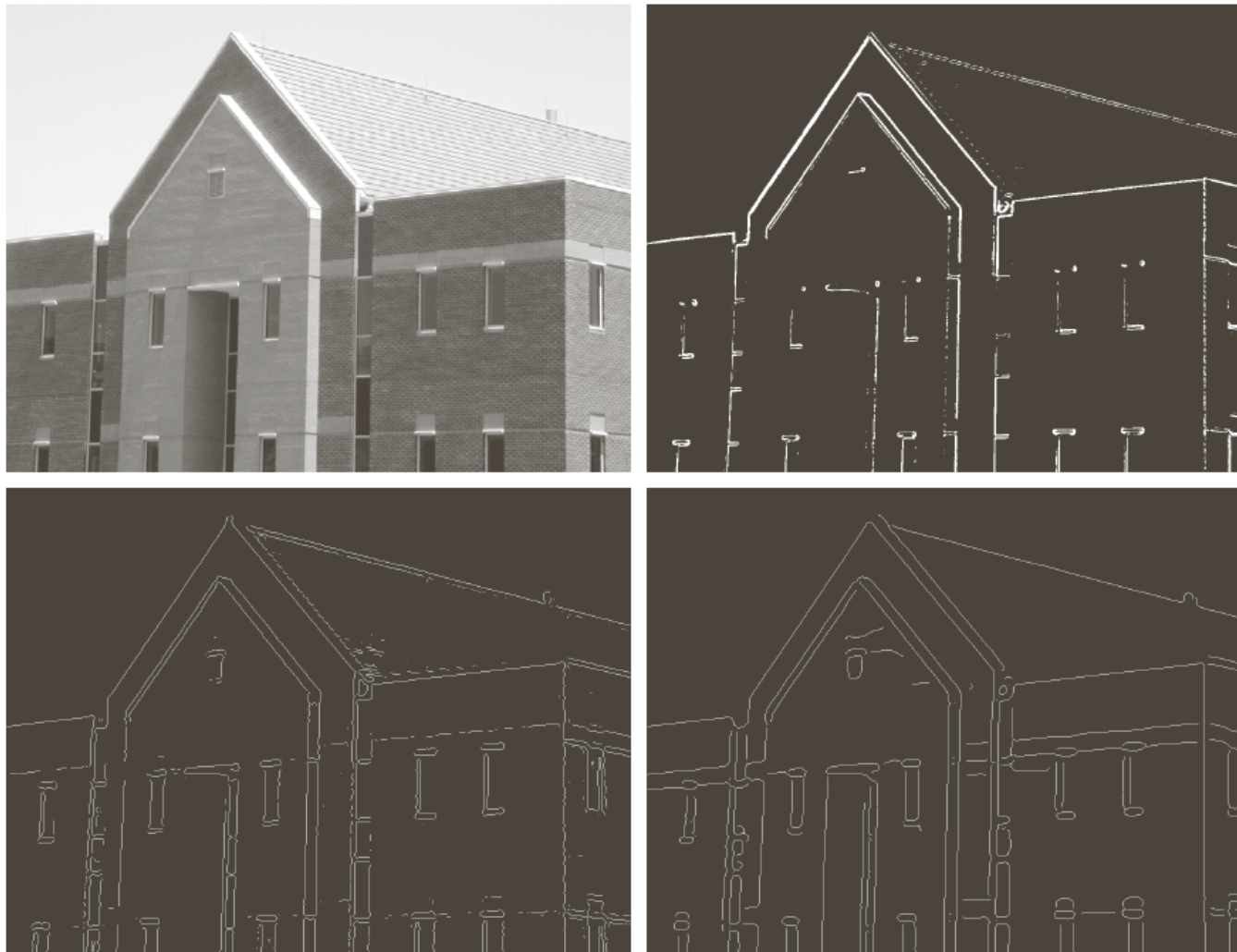
1. Produce two thresholded images $I_1(i, j)$ and $I_2(i, j)$.

(note: since $I_2(i, j)$ was formed with a high threshold, it will contain fewer false edges but there might be gaps in the contours)

2. Link the edges in $I_2(i, j)$ into contours

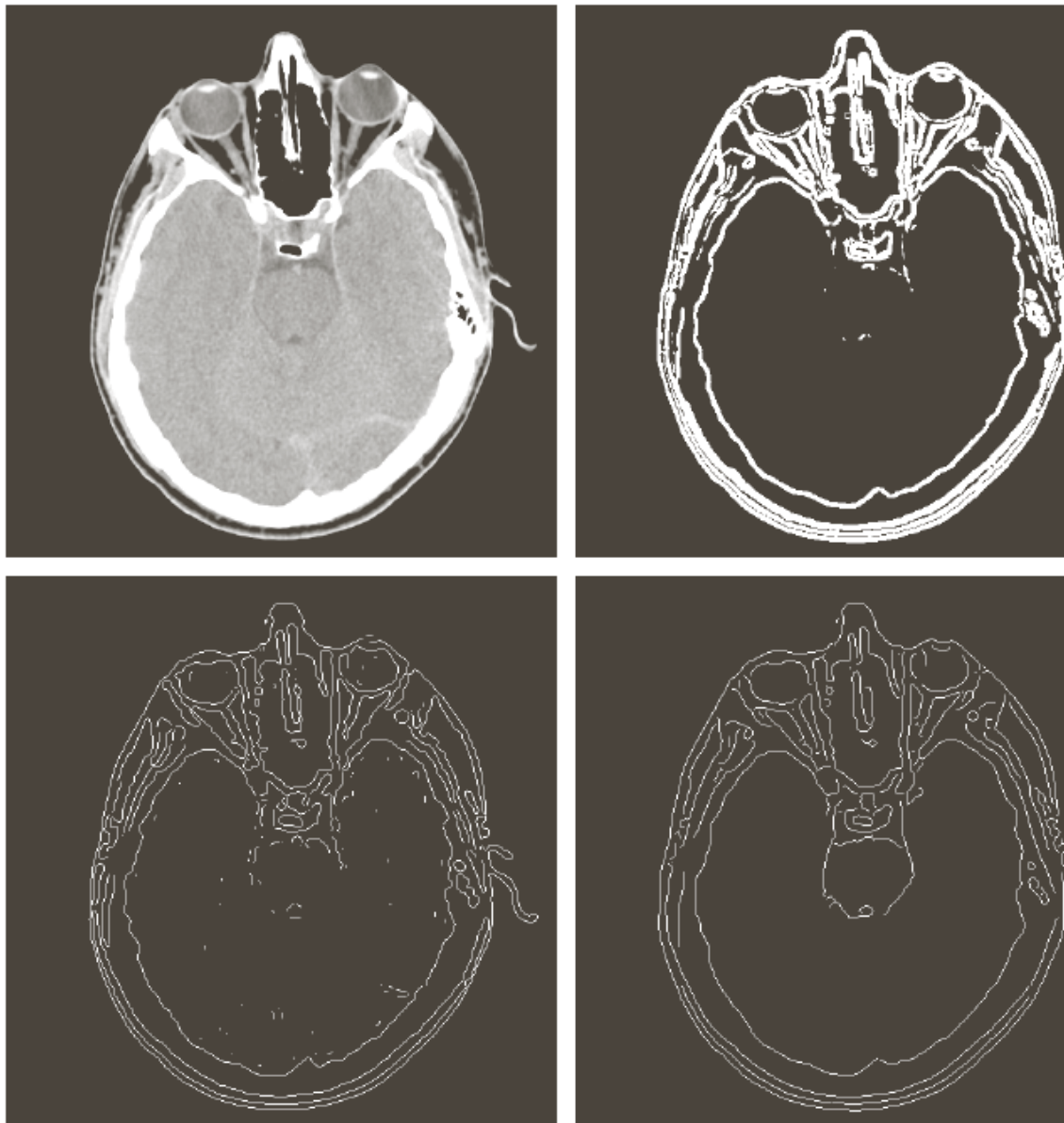
2.1 Look in $I_1(i, j)$ when a gap is found.

2.2 By examining the 8 neighbors in $I_1(i, j)$, gather edge points from $I_1(i, j)$ until the gap has been bridged to an edge in $I_2(i, j)$.



a
b
c
d

FIGURE 10.25
 (a) Original image of size 834×1114 pixels, with intensity values scaled to the range $[0, 1]$.
 (b) Thresholded gradient of smoothed image.
 (c) Image obtained using the Marr-Hildreth algorithm.
 (d) Image obtained using the Canny algorithm. Note the significant improvement of the Canny image compared to the other two.



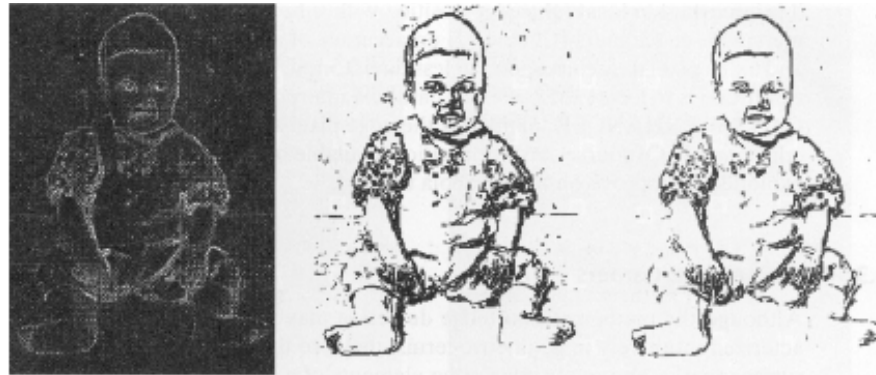
a b
c d

FIGURE 10.26

- (a) Original head CT image of size 512×512 pixels, with intensity values scaled to the range $[0, 1]$.
(b) Thresholded gradient of smoothed image.
(c) Image obtained using the Marr-Hildreth algorithm.
(d) Image obtained using the Canny algorithm.
(Original image courtesy of Dr. David R. Pickens, Vanderbilt University.)

Exemplo – qual o efeito de σ ?

(left:Sobel, middle: thresh=35, right: thersh=50)

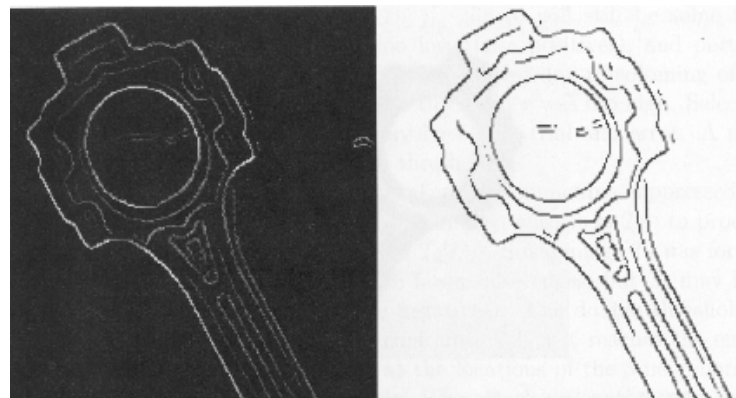


(Canny - left: $\sigma=1$, middle: $\sigma=2$, right: $\sigma=3$)

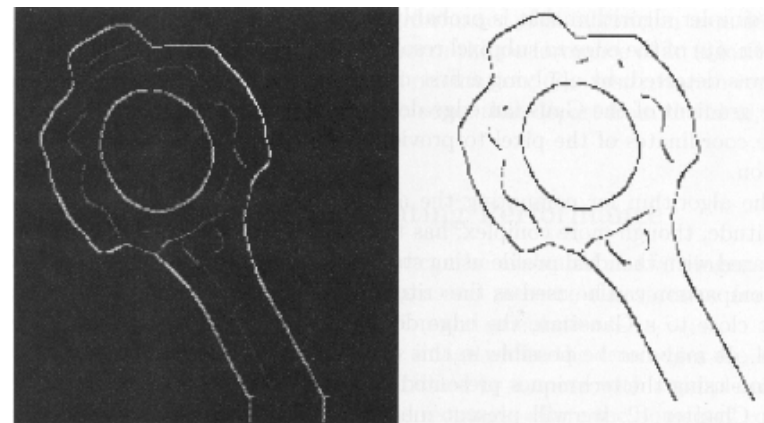


Exemplo – qual o efeito de σ ?

(Canny - 7x7 Gaussian, more details)



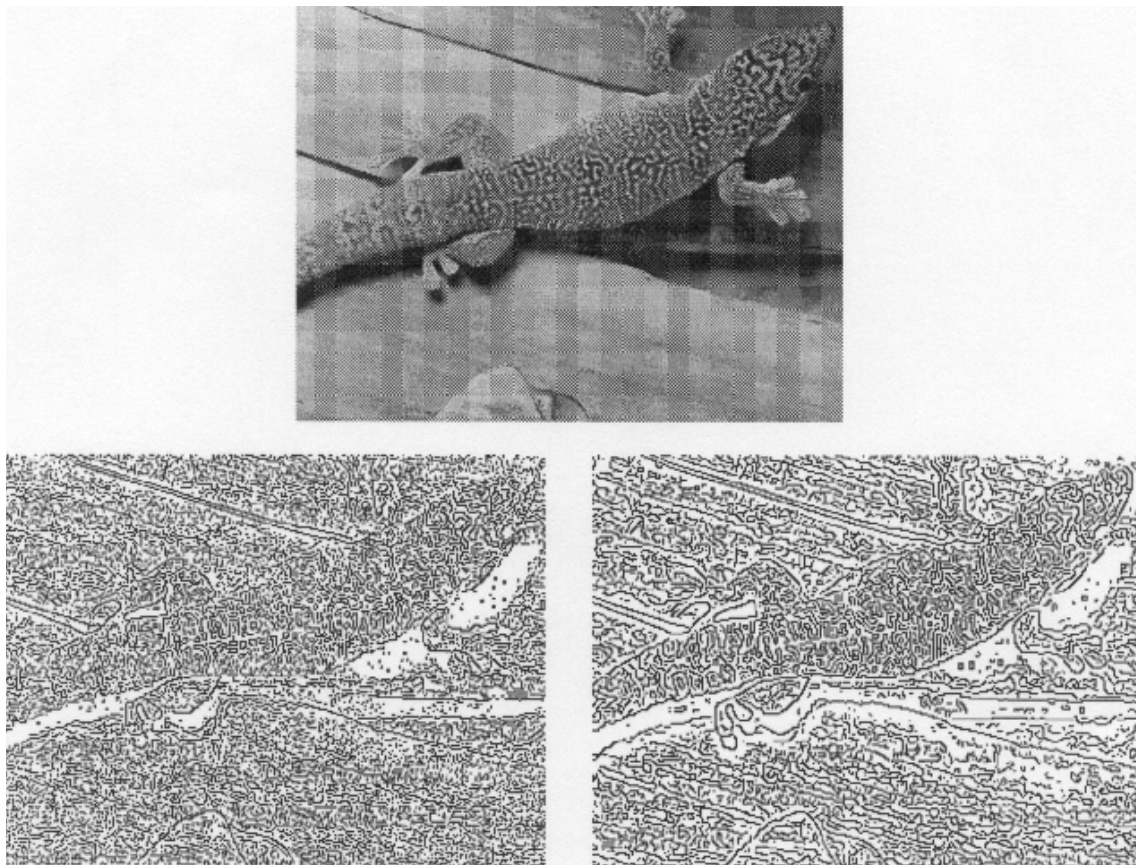
(Canny - 31x31 Gaussian, less details)



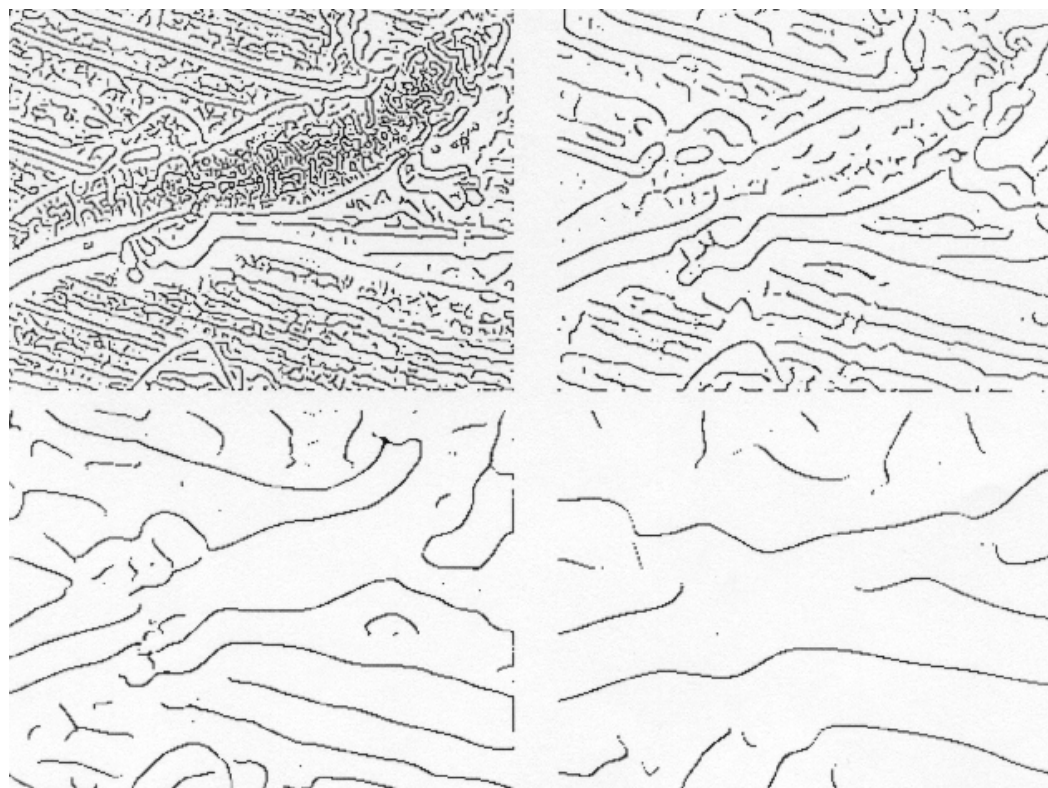
Processamento multi-escala (*scale space*)

- Um problema prático com qqr detector de borda é a questão da escolha da escala de suavização (o valor de σ na Gaussiana)
- Em muitas aplicações é desejável processar imagens em várias escalas
 - talvez combinar os resultados
- Determinamos quais bordas são mais significativas em termos da faixa de escalas sobre as quais elas serão evidentes

Processamento multi-escala



Processamento multi-escala



(Canny edges at multiple scales of smoothing, $\sigma=0.5, 1, 2, 4, 8, 16$)

Bibliografia

- Gonzalez & Woods, Processamento Digital de Imagens, 3^a. Edição (capt. 3 e 10)
- Sonka, Image Processing, Analysis and Machine Vision